

A map of the United States with a color-coded overlay representing nitrogen isotope modeling. The colors range from dark blue (low values) to red (high values). The highest concentrations (red) are visible in the Northeast and parts of the Midwest. The map also shows state boundaries and major water bodies.

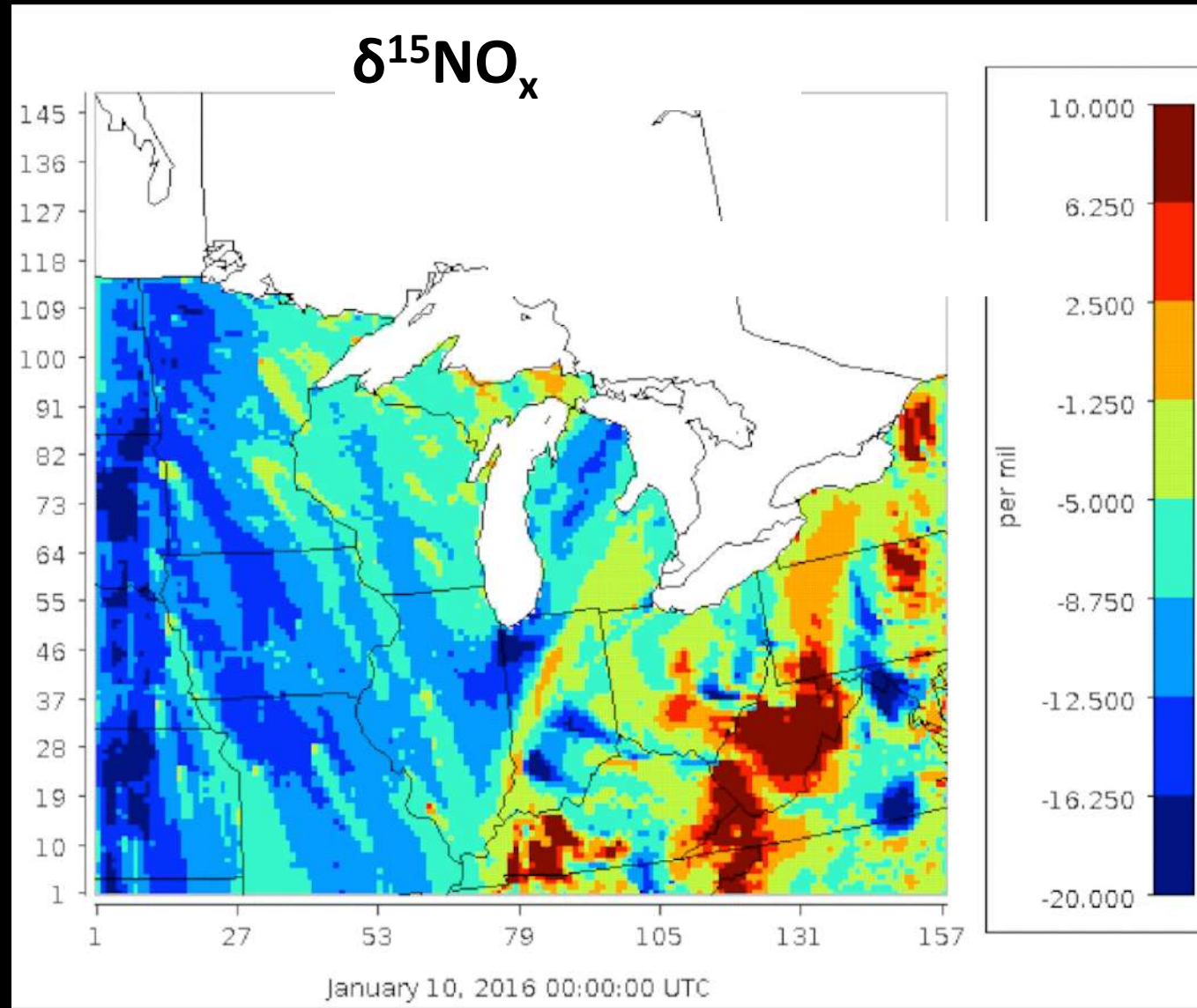
¿Qué puede decirnos el modelado de isótopos de N en compuestos reactivos sobre las fuentes y la química de la contaminación por NO_x ?

Greg Michalski
Purdue University

El Congreso Colombiano y Conferencia Internacional en Calidad de Aire y Salud Pública (CASAP)

March. 22, 2023

CMAQ: El sistema comunitario de modelado de la calidad del aire a múltiples escalas simulación de superficie $\delta^{15}\text{NO}_x$

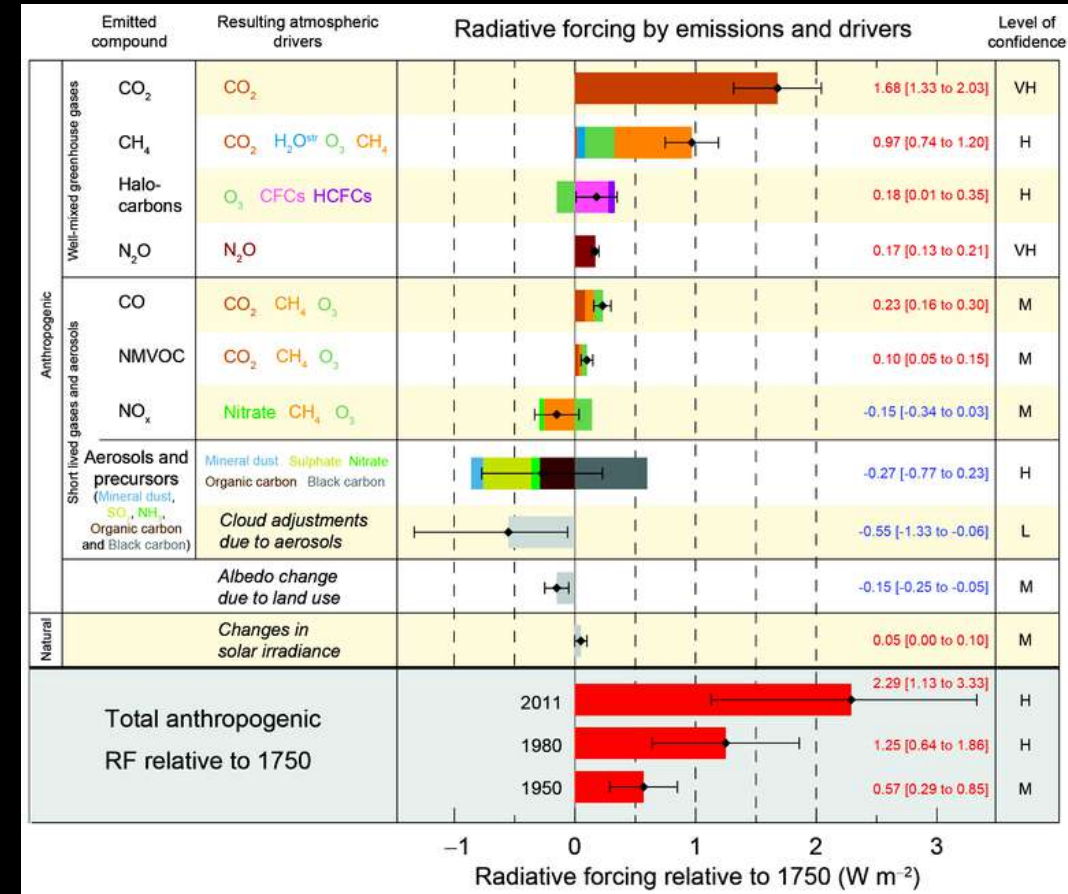


Objetivo: CMAQ simulación $\delta^{15}\text{N}$ de NO_x y NO_y

1. ¿Por qué es importante el NO_x/NO_y ?
2. ¿Qué no entendemos de los ciclos NO_x/NO_y ?
3. ¿Qué es $\delta^{15}\text{N}$?
4. ¿Pueden las mediciones y el modelado de $\delta^{15}\text{N}$ ayudar a llenar los vacíos de conocimiento sobre el ciclo de NO_x/NO_y ?
5. ¿Qué es el enfoque de modelado $\delta^{15}\text{N}$?
6. Estado actual y trabajos futuros

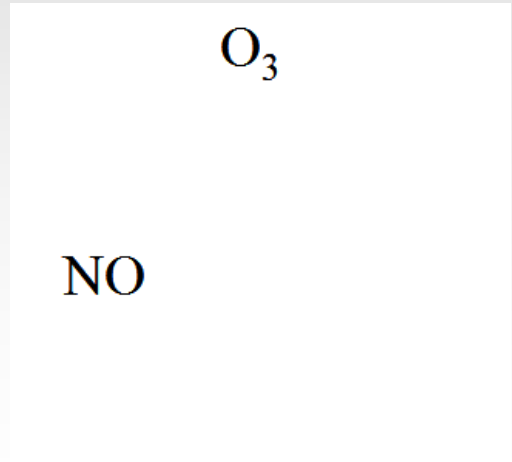
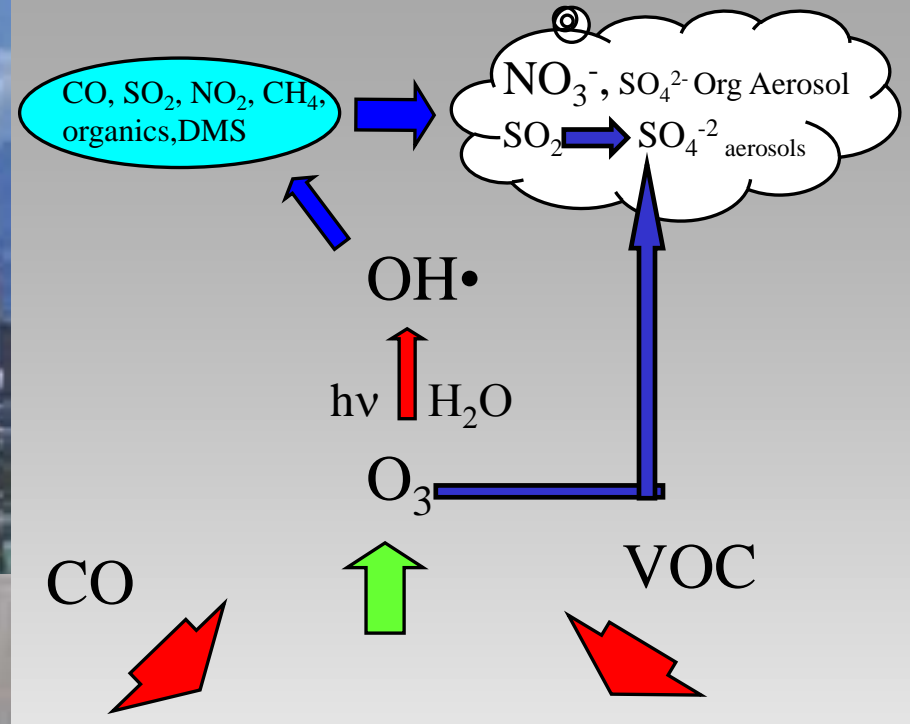
¿Por qué es importante el NO_x/NO_y ?

- NO_x ($\text{NO} + \text{NO}_2$) controla la producción troposférica de O_3
- Directa e indirectamente produce aerosoles secundarios
 - Salud humana
 - 8 millones de muertes prematuras al año
- Efecto directo e indirecto del clima
- Contaminación visual
- Lluvia ácida ($\text{NO}_y = \text{NO}_x + \text{HNO}_3 + \text{NO}_3^- + \text{HONO} \dots$)
- Deposición de N en ecosistemas terrestres y acuáticos





Tropospheric Chemistry

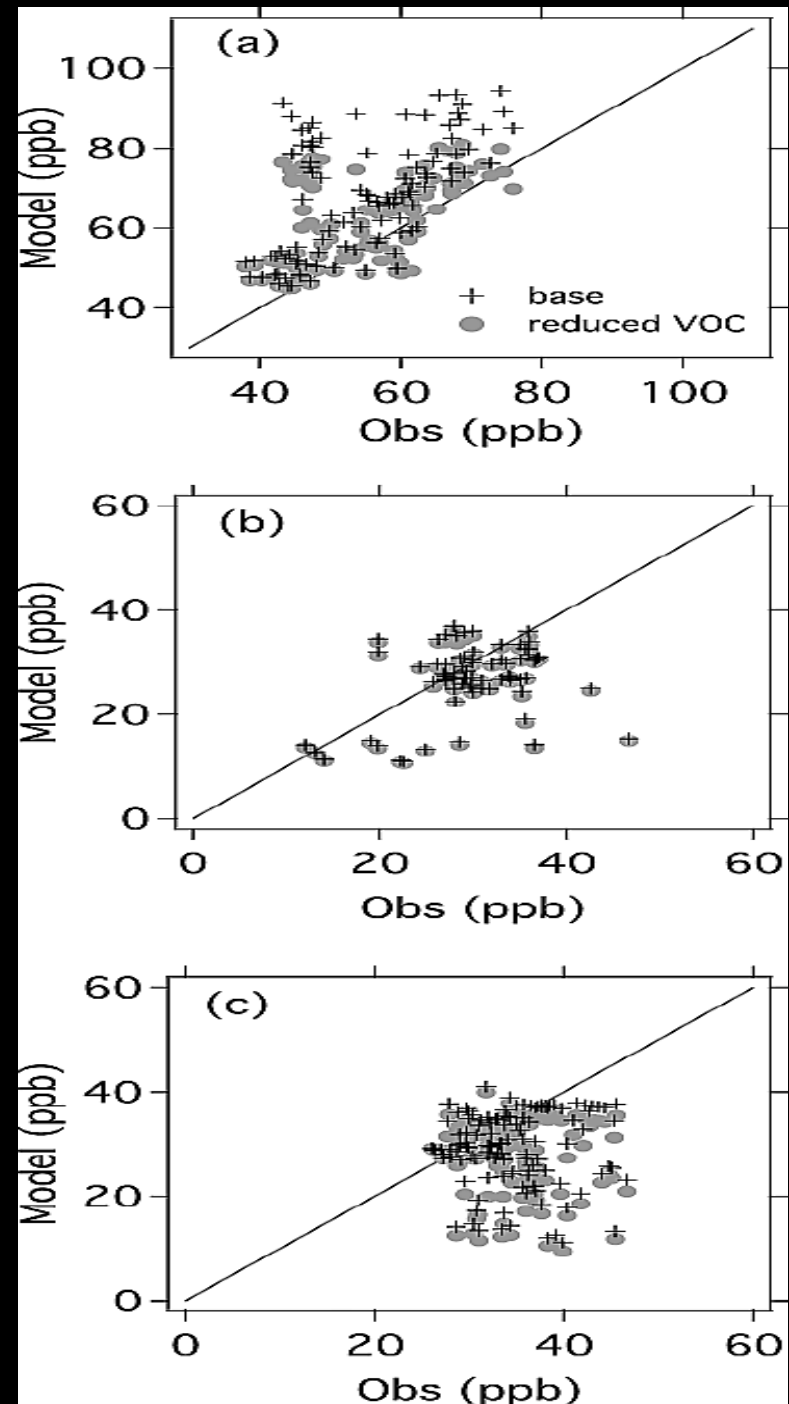


¿Qué no entendemos de los ciclos NO_x/NO_y?

Xie et al. 2011

El modelo de calidad del aire todavía tiene dificultades para predecir con precisión los niveles de contaminantes

1. Incertidumbres en los inventarios de emisiones
2. Incertidumbres en química
3. validación de modelos de transporte químico



Incertidumbre en el inventario de NO_x

Los factores de emisión de NO_x actuales de la EPA no son precisos para más de la mitad de las clasificaciones de fuentes.

Las concentraciones de NO_x en los modelos de calidad del aire están sesgadas en el orden de 2 veces los niveles observados.

Las emisiones de NO_x biogénicas y agrícolas no están bien restringidas

La producción de rayos NO_x tiene una incertidumbre muy alta

La tecnología de reducción de NO_x en los automóviles se puede manipular

Uncertainty in NO_y Chemistry

1. Los mecanismos químicos difieren, predicen diferentes cantidades de oxidantes
2. Incertidumbres en la oxidación del NO: O₃, HO₂, RO₂
3. La importancia de las reacciones heterogéneas en los aerosoles y en las nubes

Variability in Nocturnal Nitrogen Oxide Processing and Its Role in Regional Air Quality

S. S. Brown,^{1*} T. B. Ryerson,¹ A. G. Wollny,^{1,2} C. A. Brock,¹ R. Peltier,³ A. P. Sullivan,³
R. J. Weber,³ W. P. Dubé,^{1,2} M. Trainer,¹ J. F. Meagher,¹ F. C. Fehsenfeld,^{1,2} A. R. Ravishankara^{1,4}

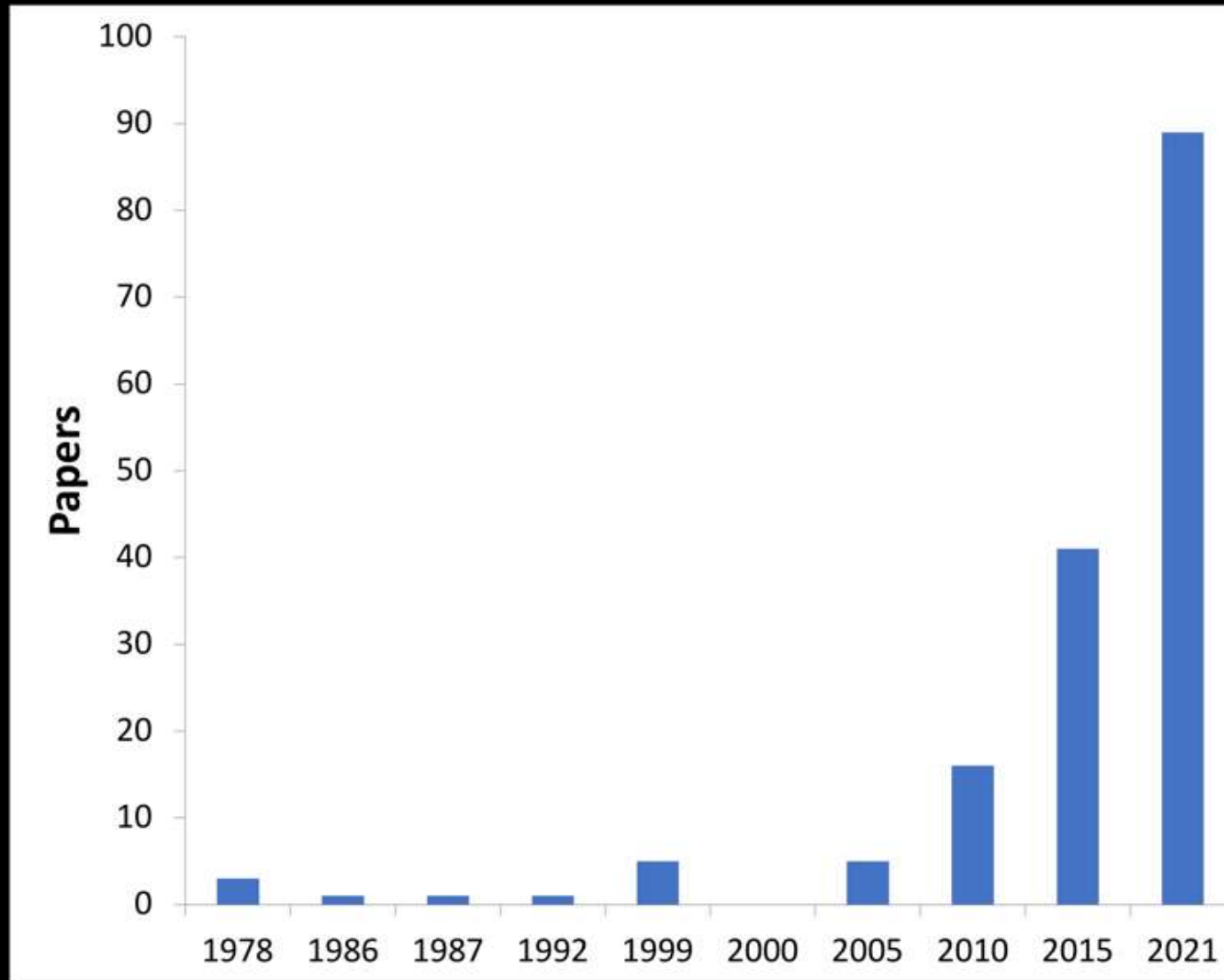
“We report aircraft measurements of NO₃ and N₂O₅, which show that the N₂O₅ uptake coefficient, $g(N_2O_5)$, on aerosol particles is highly variable and depends strongly on aerosol composition, particularly sulfate content. The results have implications for the quantification of regional-scale O₃ production and suggest a stronger interaction between anthropogenic sulfur and nitrogen oxide emissions than previously recognized.”

Que es $\delta^{15}\text{N}$?

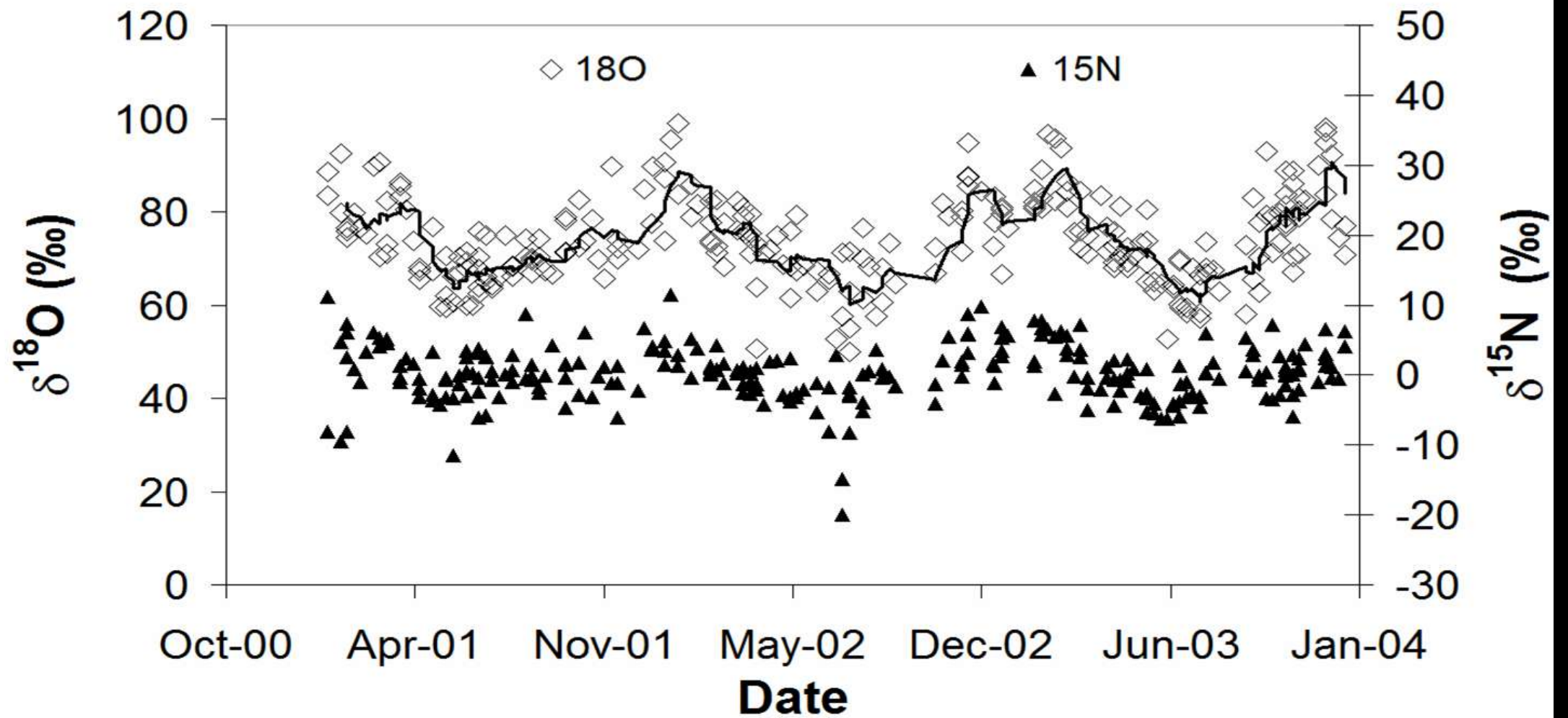
$$\delta^{15}\text{N} (\text{‰}) = \frac{{}^{15}\text{NO}_x / {}^{14}\text{NO}_x - {}^{15}\text{N}_2 / {}^{14}\text{N}_2}{{}^{15}\text{N}_2 / {}^{14}\text{N}_2} \times 1000$$

¿Cómo estamos usando NO_x y $\delta^{15}\text{N}$?

- El creciente conjunto de datos necesita modelado para su interpretación
- Validar inventario de emisiones
- Validar mecanismo químico

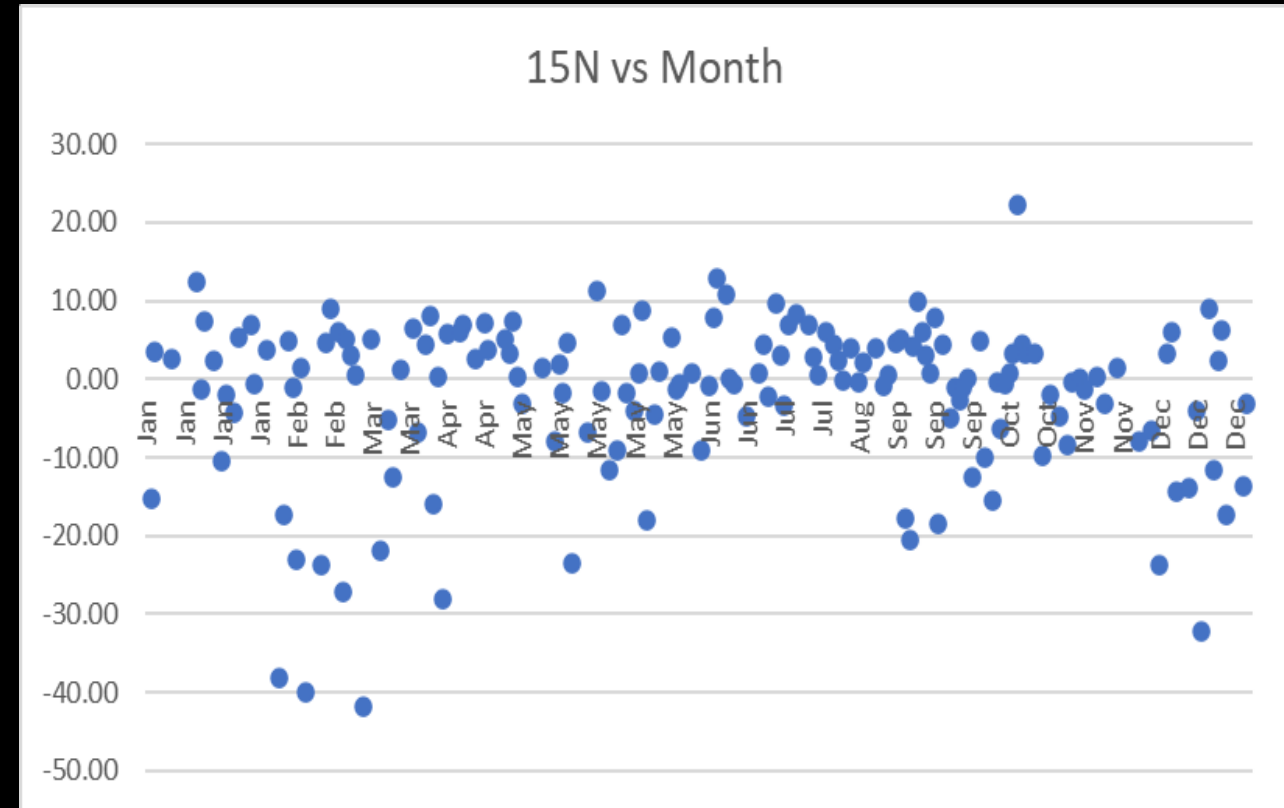
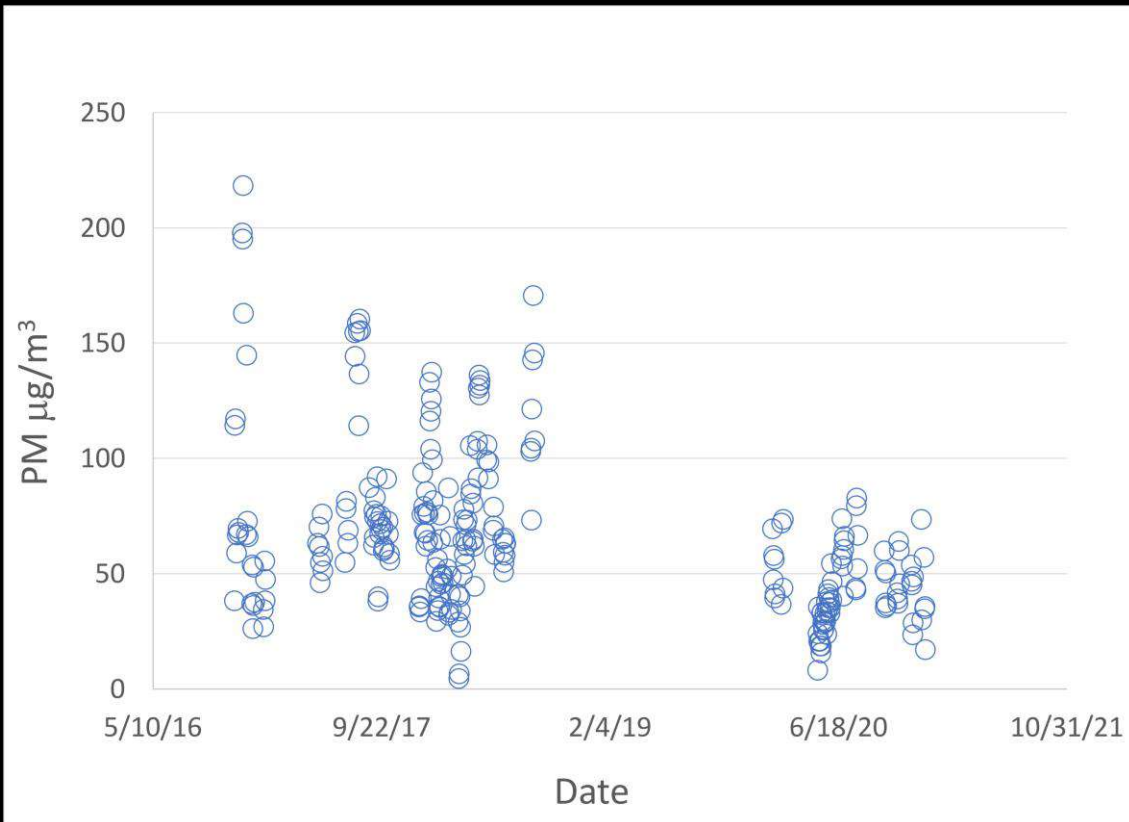


Artículos publicados sobre isótopos de NO_y

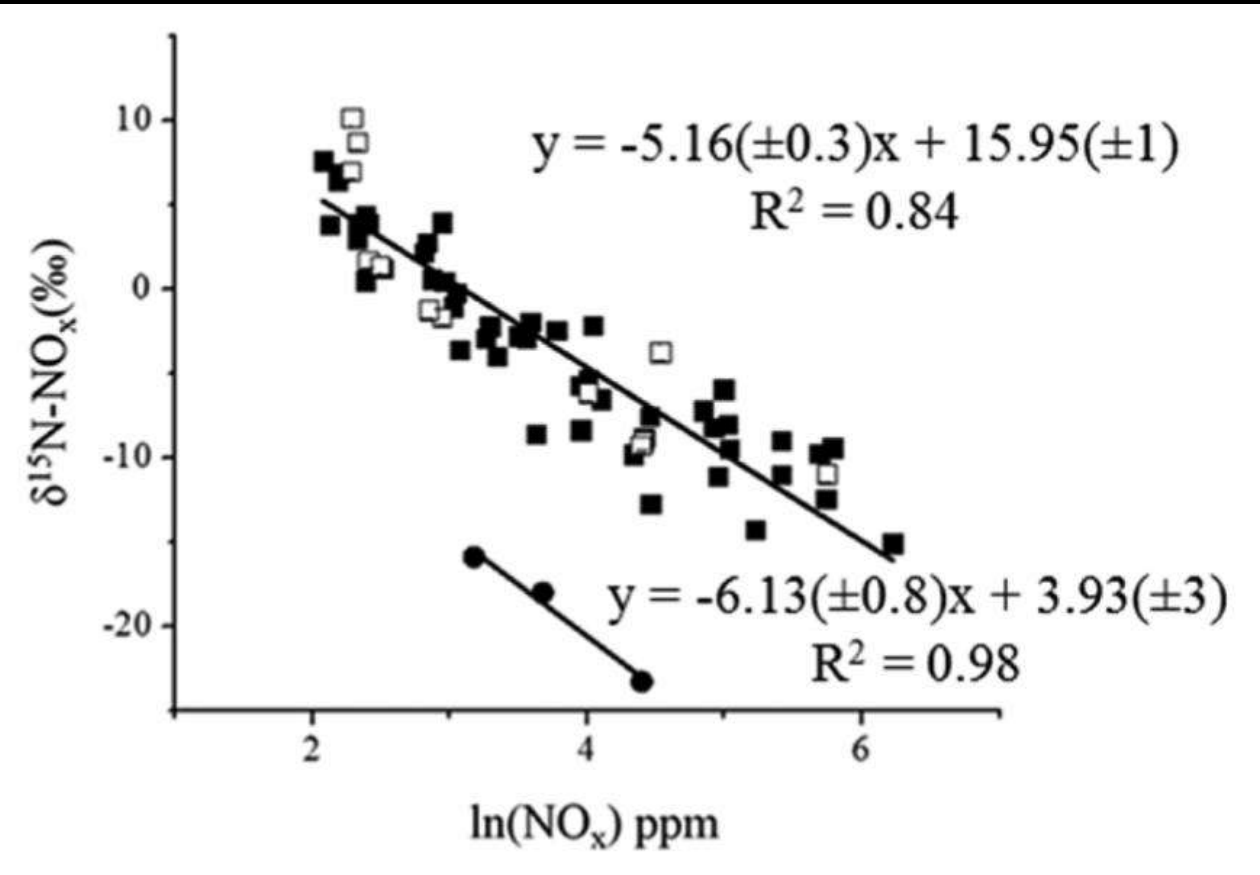
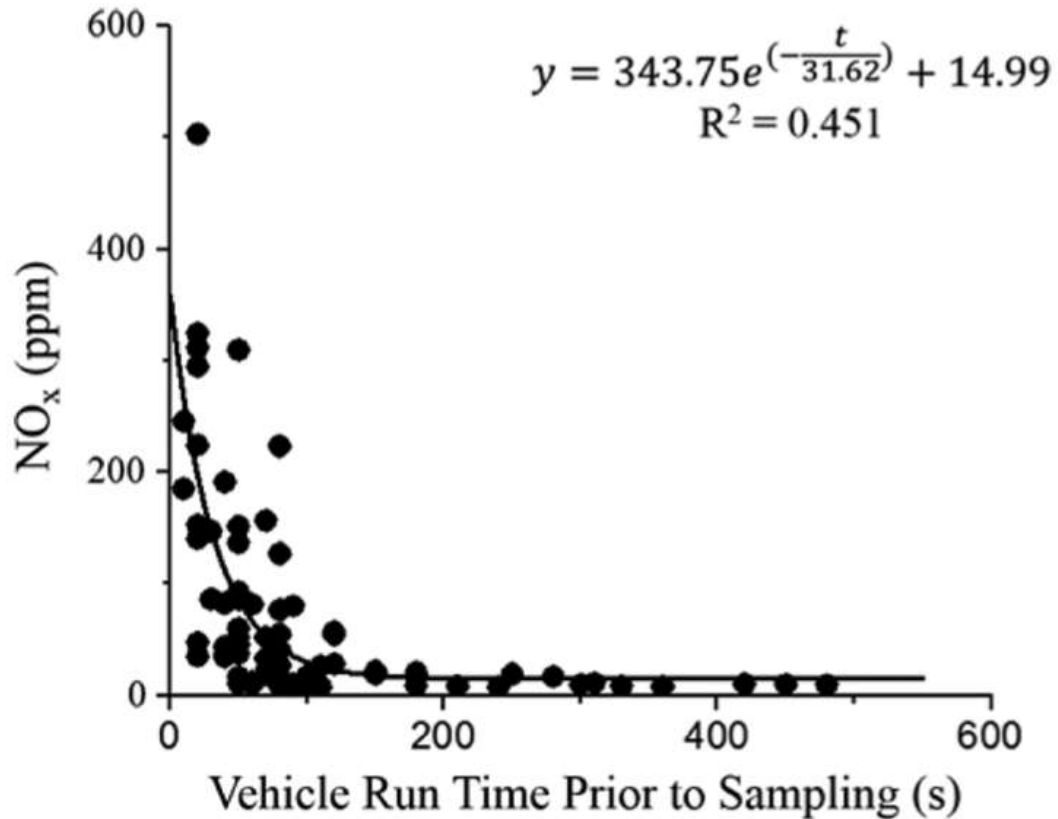


Variación estacional en la lluvia del Medio Oeste NO_3^- - $\delta^{15}\text{N}$

$\text{NO}_3^- \delta^{15}\text{N}$ de PM colectado en Cusco, Perú



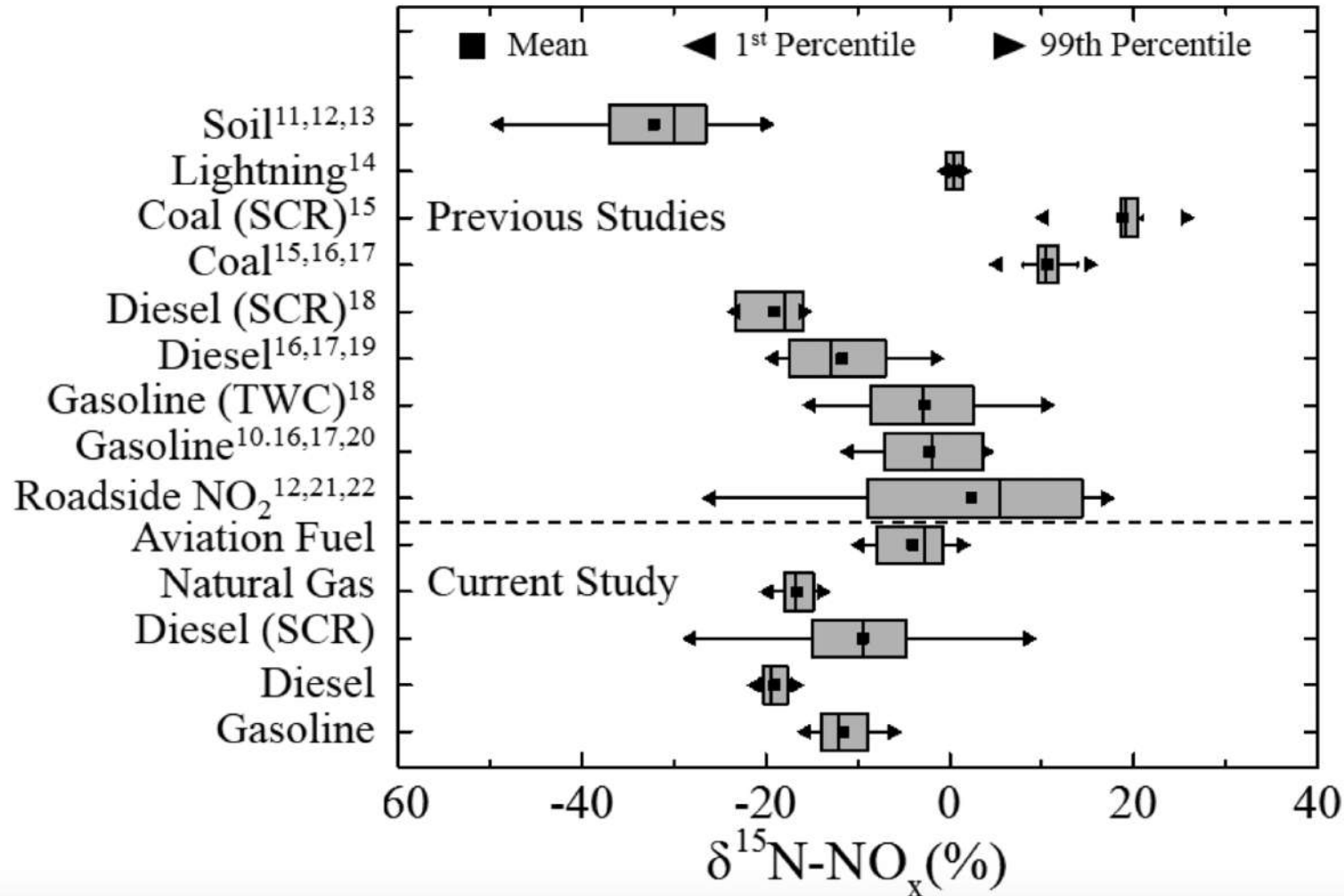
Ejemplo de fraccionamiento de isótopos ^{15}N



El NO_x se reduce a medida que el convertidor catalítico se calienta

^{14}N El NO_x se reduce a medida que el convertidor catalítico se calienta $\delta^{15}\text{N}$

Fuente variaciones en $\delta^{15}\text{NO}_x$



3 fuentes principales de NO_x tienen un $\delta^{15}\text{N}$ único

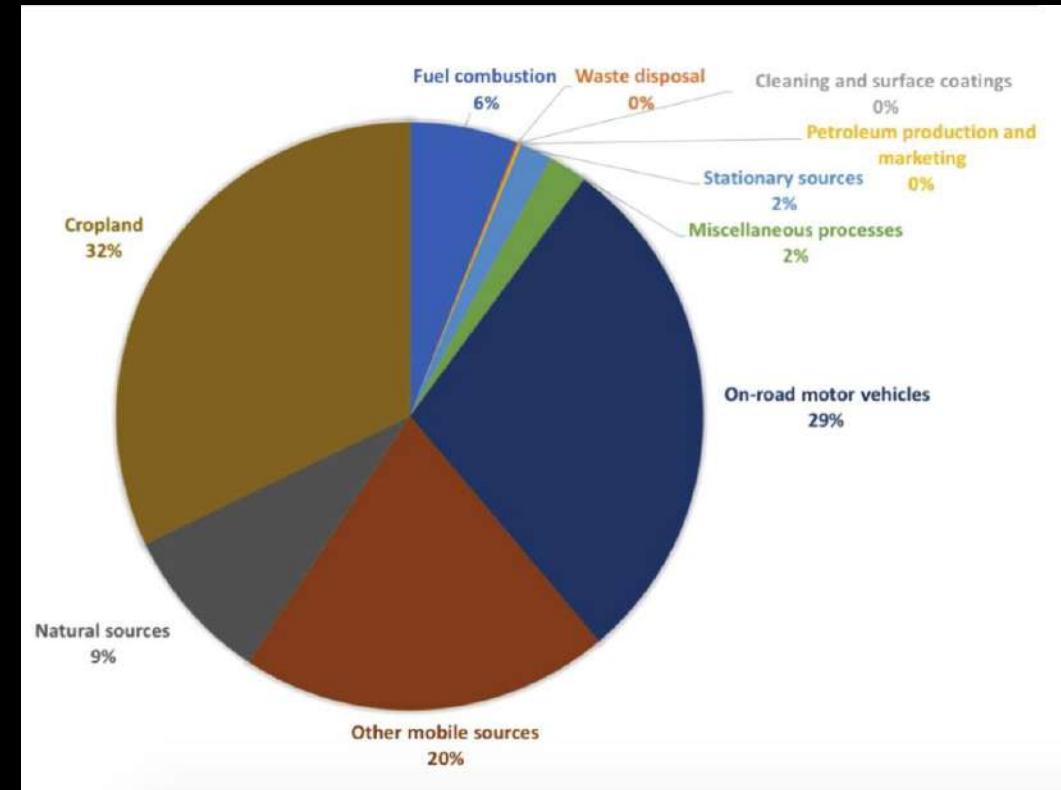
- Suelo -30‰
- Vehículos -5‰
- Centrales con SCR +15‰

Los isótopos se pueden utilizar para limitar las fuentes de un compuesto

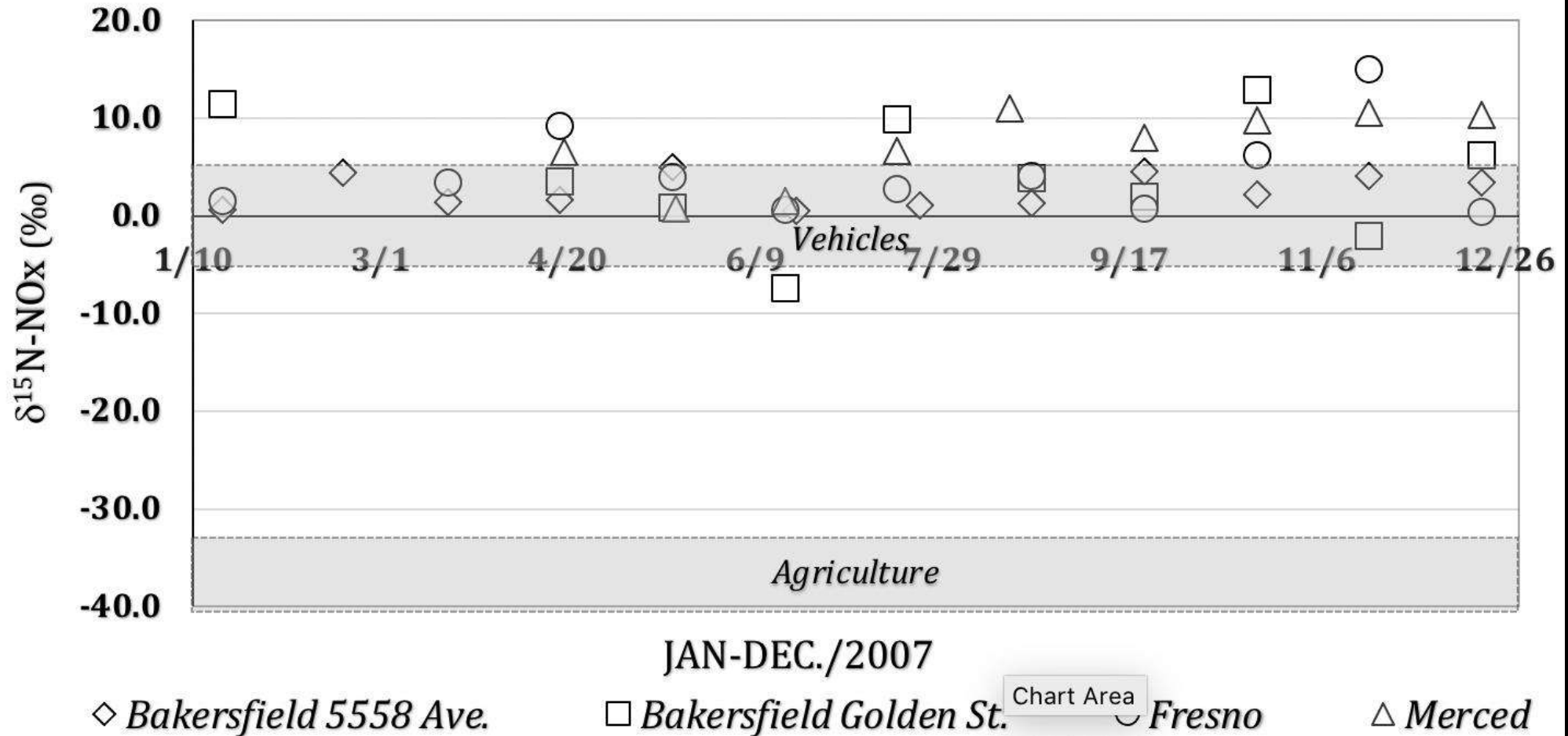
Agriculture is a major source of NO_x pollution in California

MAYA ALMARAZ , EDITH BAI , CHAO WANG , JUSTIN TROUSDELL , STEPHEN CONLEY , IAN FALOONA, AND BENJAMIN Z. HOULTON 

” En el inventario actual de CARB NO_x, se cree que predominan las emisiones móviles (83 %), mientras que las emisiones del suelo actualmente se consideran insignificantes (16). Aquí, mostramos que los suelos agrícolas aportan una cantidad sustancial de NO_x a la atmósfera”.

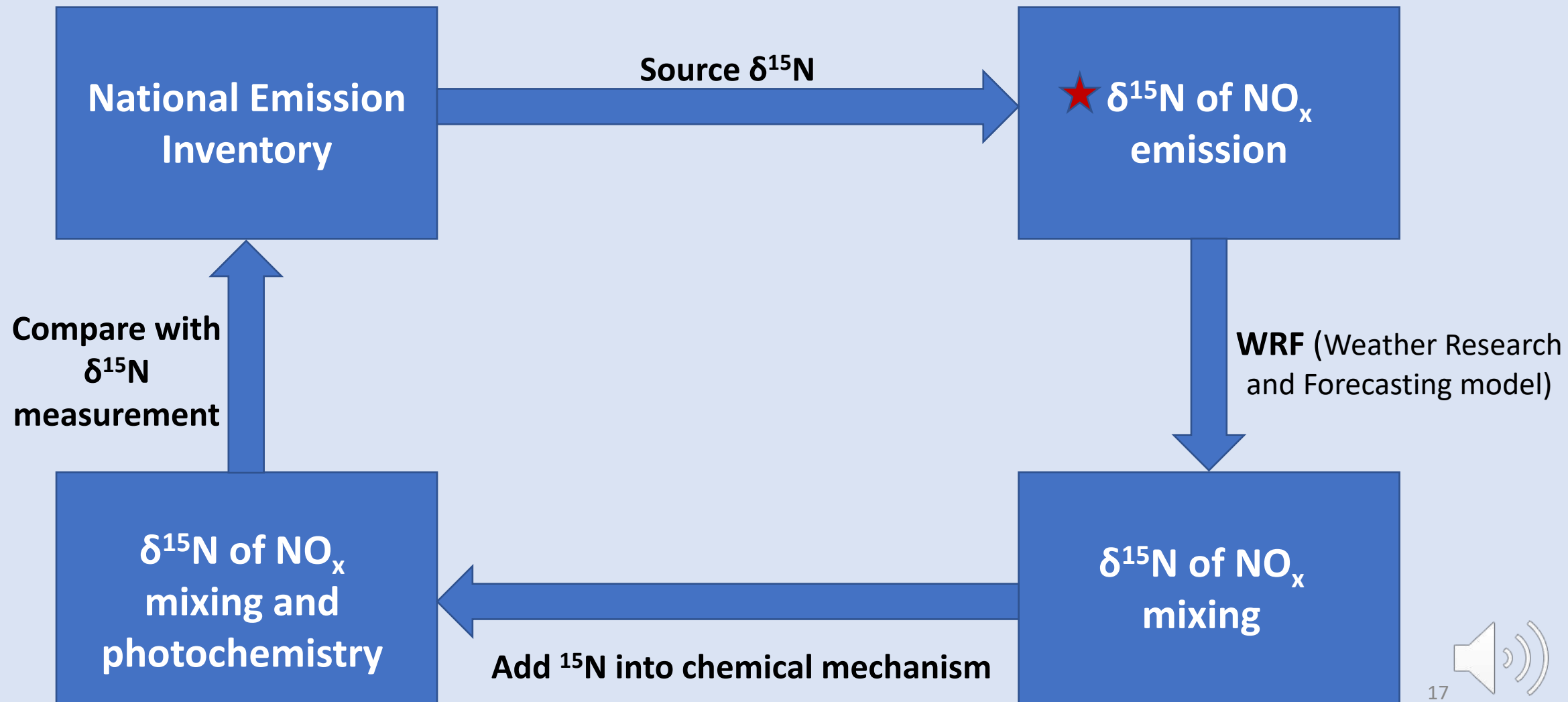


$\delta^{15}\text{N-NO}_x$ (‰) from Central Valley California Sites

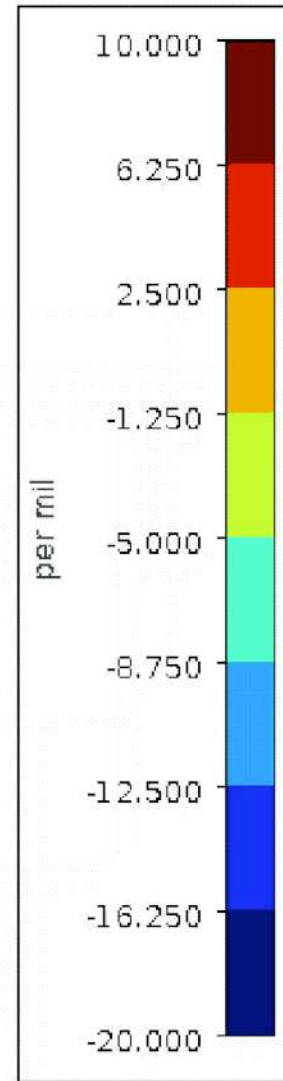
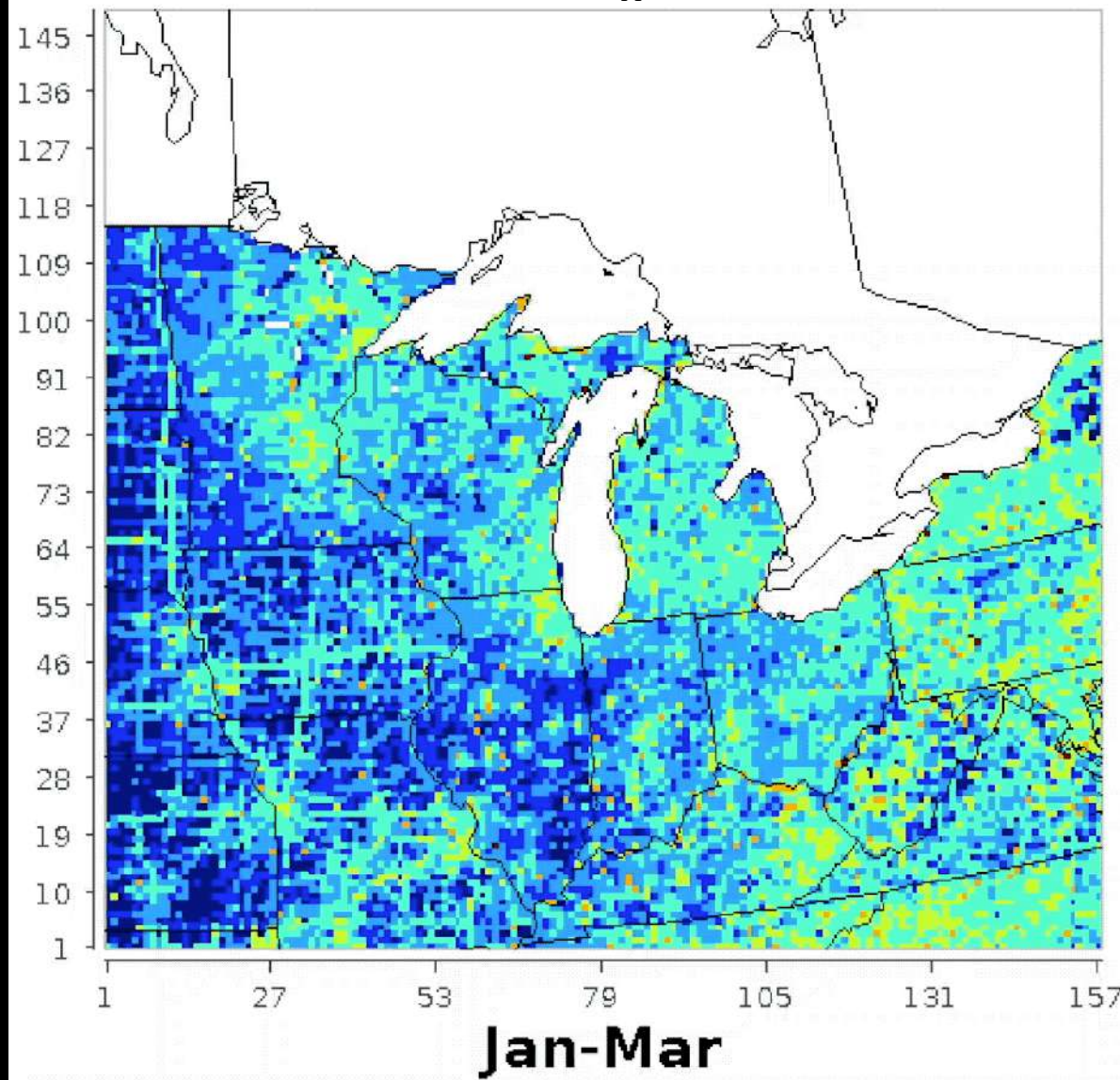


$\delta^{15}\text{N}$ indica que los vehículos son la fuente principal

Evaluar la precisión del inventario de emisiones de NO_x



$\delta^{15}\text{N}(\text{NO}_x)$ emission



- Coal-fired power plant
- On-road diesel vehicle
- On-road gas vehicle
- Off-road diesel vehicle
- Off-road gas vehicle
- Natural gas power plant
- Livestock waste
- Soil

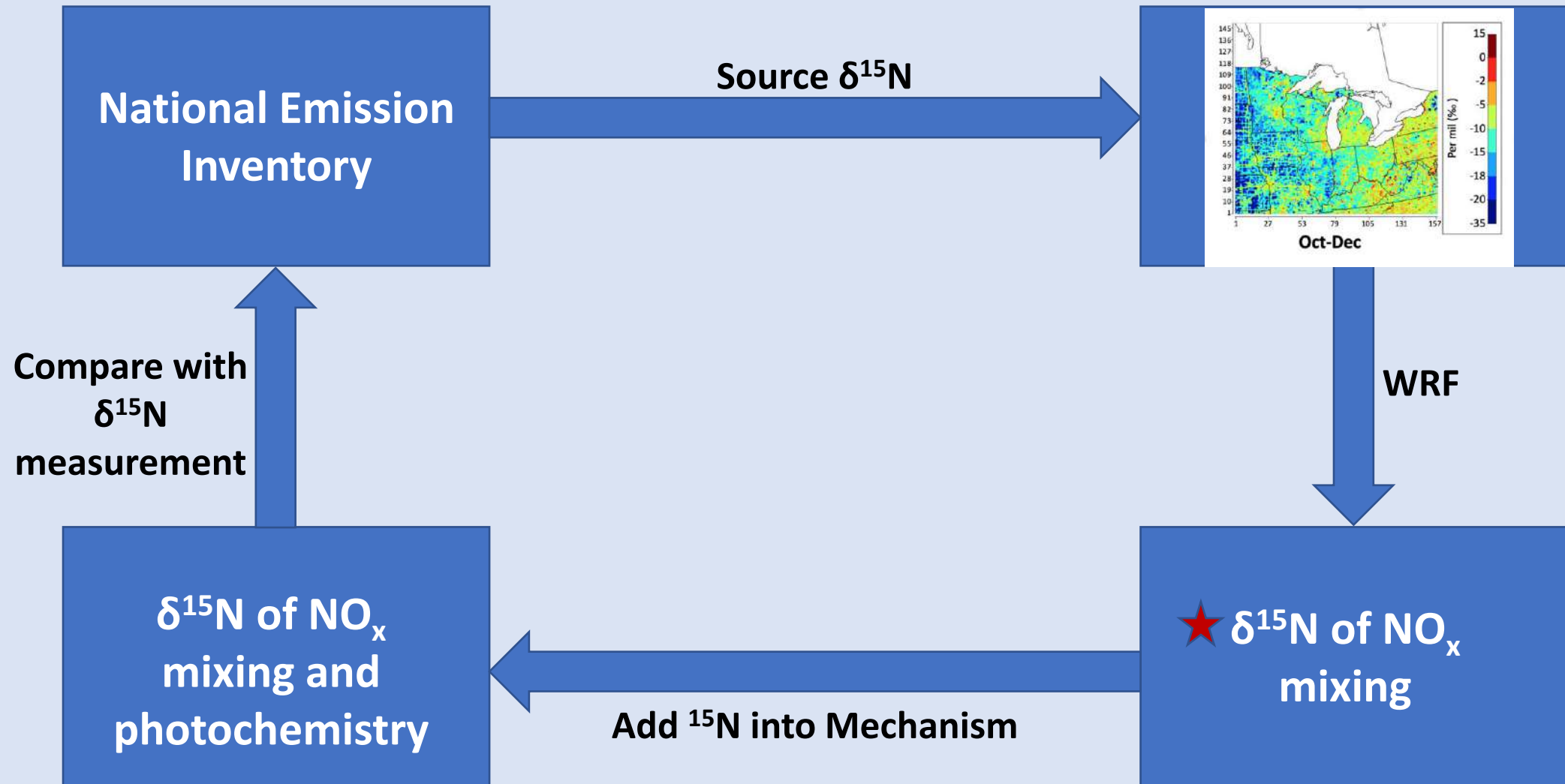
Assessing the roles emission sources and atmospheric processes play in simulating $\delta^{15}\text{N}$ of atmospheric NO_x and NO_3^- using CMAQ (version 5.2.1) and SMOKE (version 4.6)

Huan Fang¹ and Greg Michalski²

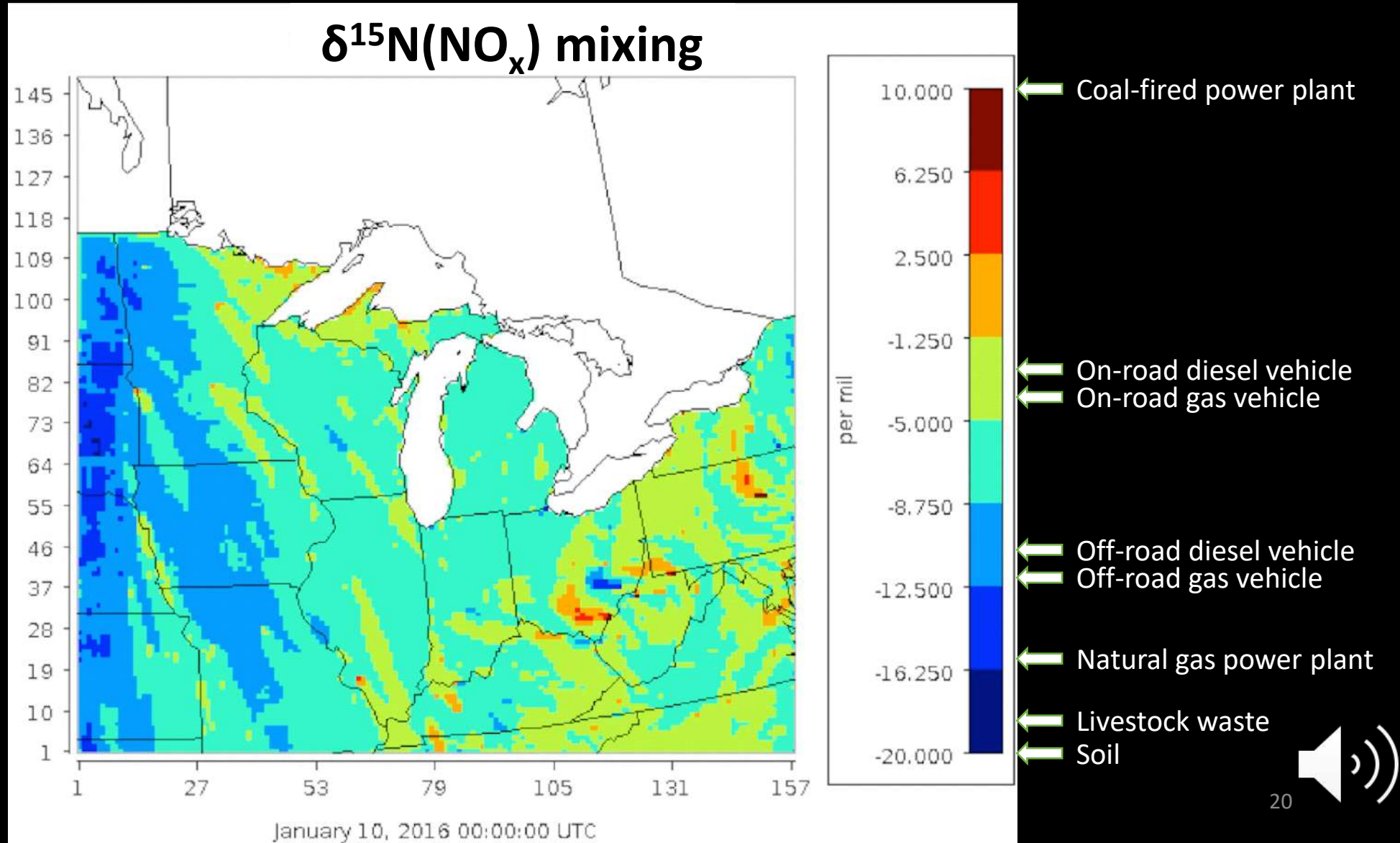
Geoscientific Model Development
Open Access
EGU



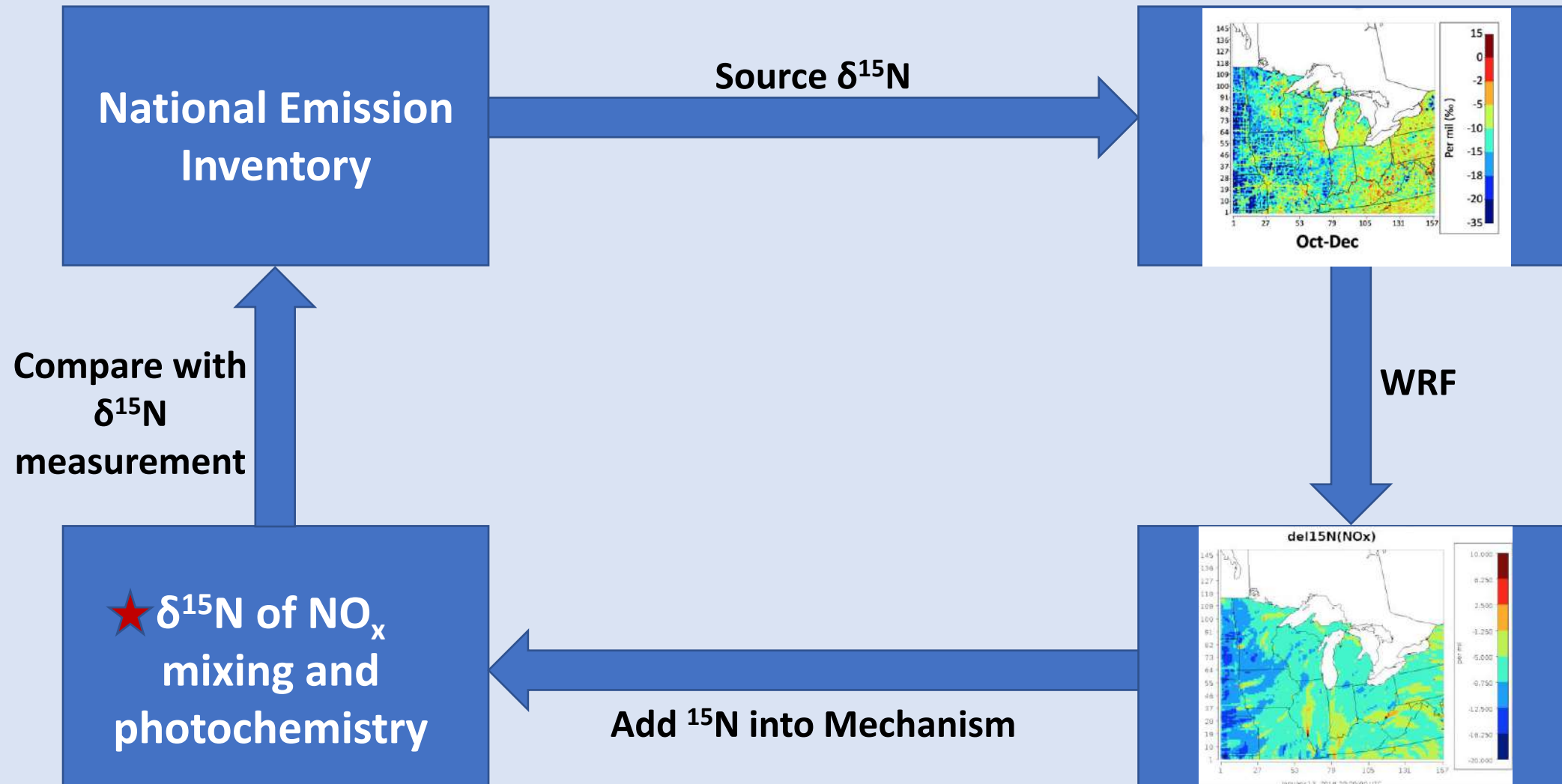
Evaluate the accuracy of the NO_x emission inventory



NO_x δ¹⁵N valores con mezcla WRF



Evaluar la precisión del inventario de emisiones de NO_x



Incertidumbre en los mecanismos químicos de NO_x

Carbon Bond (CBM-III, CBM-IV, CBM-V) 204 rxns

Regional Atmospheric Deposition Model 149 rxns

Regional Atmospheric Chemistry Mechanism 240 rxns

SAPRC (SAPRC 7 to SAPRC 18) 1,518 rxns

Master Chemical Mechanism 13,500 rxns

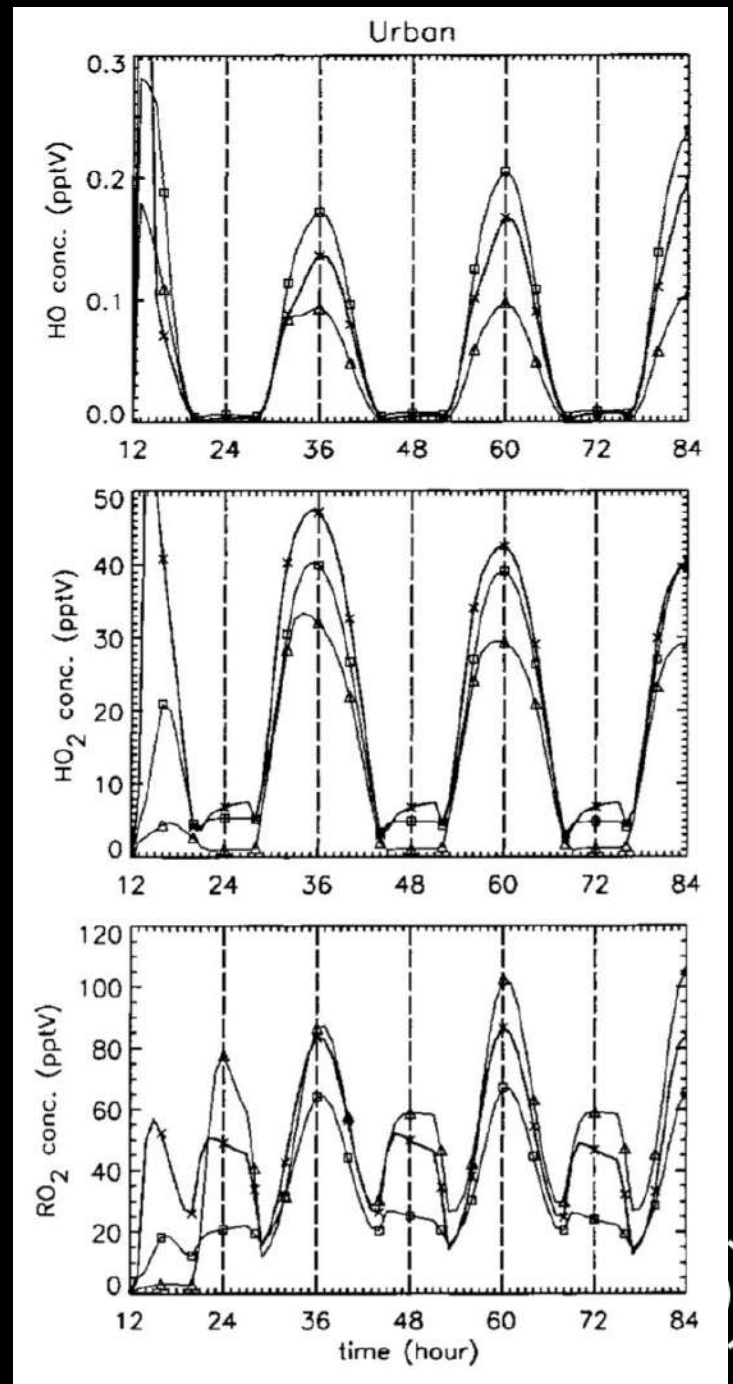


Incertidumbre en los mecanismos químicos de NO_x

Los mecanismos fotoquímicos difieren en cómo manejan los compuestos orgánicos.

Da como resultado diferentes predicciones de los niveles de oxidantes, incluido el O_3

Gross and Stockwell, 2003



Incorporación de ^{15}N en mecanismos químicos

- N reaction: $^{14}\text{NO} + \text{O}_3 \rightarrow ^{14}\text{NO}_2 + \text{O}_2$
- Rate = $k_{14}[^{14}\text{NO}][\text{O}_3]$
- Replicate: $^{15}\text{NO} + \text{O}_3 \rightarrow ^{15}\text{NO}_2 + \text{O}_2$
- Rate = $k_{15}[^{15}\text{NO}][\text{O}_3] = \alpha k_{14}[^{15}\text{NO}][\text{O}_3]$
- α = isotope fractionation factor = $^{15}k/^{14}k$



i_N RACM: incorporating ^{15}N into the Regional Atmospheric Chemistry Mechanism (RACM) for assessing the role photochemistry plays in controlling the isotopic composition of NO_x , NO_y , and atmospheric nitrate

Huan Fang¹, Wendell W. Walters², David Mase¹, and Greg Michalski^{1,3}

Geoscientific
Model Development



Regional Atmospheric Chemistry Mechanism

77 compounds

16 N compounds

237 reactions

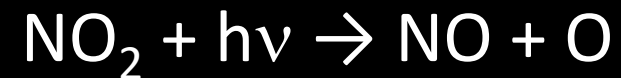
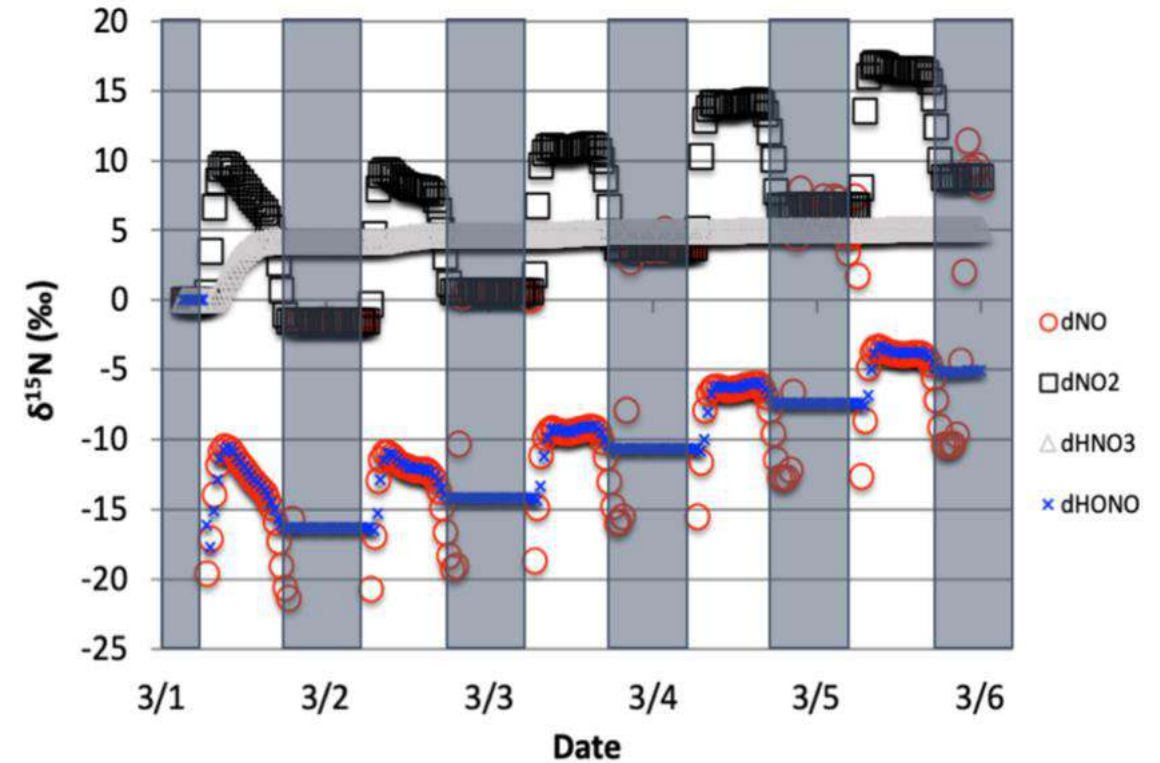
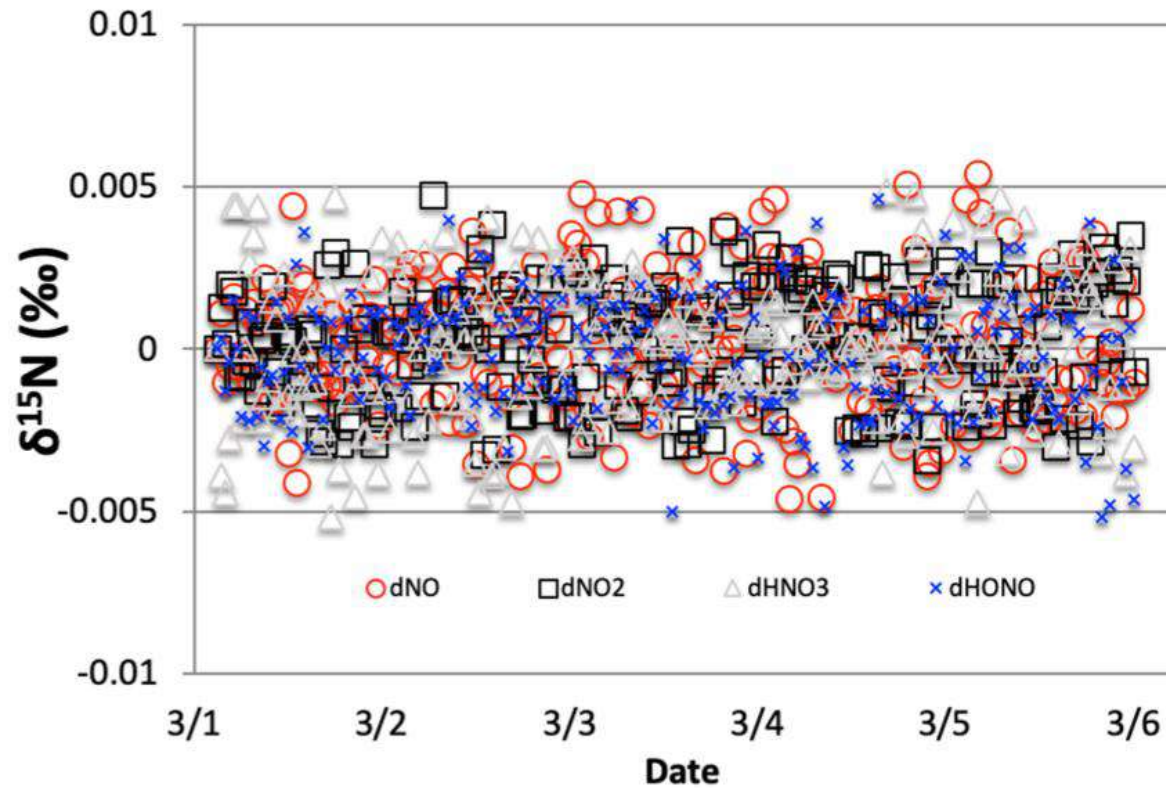
96 chemical N reactions

Table 2b. The RACM Mechanism

Reaction No.	Reaction	A_i , $\text{cm}^3 \text{s}^{-1}$	E/R , K	k^*	Note
<i>Inorganic Reactions</i>					
(R24)	$\text{O}^3\text{P} + \text{O}_2 \rightarrow \text{O}_3$	Table 2f		1.50×10^{-14}	1
(R25)	$\text{O}^3\text{P} + \text{O}_2 \rightarrow 2 \text{O}_2$	8.00×10^{-12}	2060	7.96×10^{-15}	1
(R26)	$\text{O}^3\text{D} + \text{N}_2 \rightarrow \text{O}^3\text{F} + \text{N}_2$	1.80×10^{-11}	-110	2.60×10^{-11}	1
(R27)	$\text{O}^3\text{D} + \text{O}_2 \rightarrow \text{O}^3\text{F} + \text{O}_2$	3.20×10^{-11}	-70	4.05×10^{-11}	1
(R28)	$\text{O}^3\text{D} + \text{H}_2\text{O} \rightarrow \text{HO} + \text{HO}$	2.20×10^{-10}		2.20×10^{-10}	1
(R29)	$\text{O}_3 + \text{HO} \rightarrow \text{HO}_2 + \text{O}_2$	1.60×10^{-12}	940	6.83×10^{-14}	1
(R30)	$\text{O}_3 + \text{HO}_2 \rightarrow \text{HO} + 2 \text{O}_2$	1.10×10^{-14}	500	2.05×10^{-15}	1
(R31)	$\text{HO} + \text{HO}_2 \rightarrow \text{H}_2\text{O} + \text{O}_2$	4.80×10^{-11}	-250	1.11×10^{-10}	1
(R32)	$\text{H}_2\text{O}_2 + \text{HO} \rightarrow \text{HO}_2 + \text{H}_2\text{O}$	2.90×10^{-12}	160	1.70×10^{-12}	1
(R33)	$\text{HO}_2 + \text{HO}_2 \rightarrow \text{H}_2\text{O}_2 + \text{O}_2$	Table 2f		2.92×10^{-12}	1
(R34)	$\text{HO}_2 + \text{HO}_2 + \text{H}_2\text{O} \rightarrow \text{H}_2\text{O}_2 + \text{O}_2 + \text{H}_2\text{O}$	Table 2f		6.58×10^{-20}	1
(R35)	$\text{O}^3\text{P} + \text{NO} \rightarrow \text{NO}_2$	Table 2d		1.66×10^{-12}	1
(R36)	$\text{O}^3\text{P} + \text{NO}_2 \rightarrow \text{NO} + \text{O}_2$	6.50×10^{-12}	-120	9.72×10^{-12}	1
(R37)	$\text{O}^3\text{P} + \text{NO}_2 \rightarrow \text{NO}_2$	Table 2d		1.58×10^{-12}	1
(R38)	$\text{HO} + \text{NO} \rightarrow \text{HONO}$	Table 2d		4.87×10^{-12}	1
(R39)	$\text{HO} + \text{NO}_2 \rightarrow \text{HNO}_2$	Table 2d		1.15×10^{-11}	1
(R40)	$\text{HO} + \text{NO}_2 \rightarrow \text{NO}_2 + \text{HO}_2$	2.20×10^{-11}		2.20×10^{-11}	1
(R41)	$\text{HO}_2 + \text{NO} \rightarrow \text{NO}_2 + \text{HO}$	3.70×10^{-12}	-250	8.56×10^{-12}	1
(R42)	$\text{HO}_2 + \text{NO}_2 \rightarrow \text{HNO}_2$	Table 2d		1.39×10^{-12}	1
(R43)	$\text{HNO}_2 \rightarrow \text{HO}_2 + \text{NO}_2$	Table 2e		8.62×10^{-12}	1
(R44)	$\text{HO}_2 + \text{NO}_2 \rightarrow 0.3 \text{HNO}_2 + 0.7 \text{NO}_2 + 0.7 \text{HO} + \text{O}_2$	3.50×10^{-12}		3.50×10^{-12}	1, 2
(R45)	$\text{HO} + \text{HONO} \rightarrow \text{NO}_2 + \text{H}_2\text{O}$	1.80×10^{-11}	390	4.86×10^{-12}	1
(R46)	$\text{HO} + \text{HNO}_2 \rightarrow \text{NO}_2 + \text{H}_2\text{O}$	Table 2f		1.47×10^{-13}	1
(R47)	$\text{HO} + \text{HNO}_2 \rightarrow \text{NO}_2 + \text{O}_2 + \text{H}_2\text{O}$	1.30×10^{-12}	-380	4.65×10^{-12}	1, 3
(R48)	$\text{O}_3 + \text{NO} \rightarrow \text{NO}_2 + \text{O}_2$	2.00×10^{-12}	1400	1.82×10^{-14}	1
(R49)	$\text{O}_3 + \text{NO}_2 \rightarrow \text{NO}_3 + \text{O}_2$	1.20×10^{-13}	2450	3.23×10^{-17}	1
(R50)	$\text{NO} + \text{NO} + \text{O}_2 \rightarrow \text{NO}_2 + \text{NO}_2$	3.30×10^{-36}	-530	1.95×10^{-36}	4
(R51)	$\text{NO}_2 + \text{NO} \rightarrow \text{NO}_2 + \text{NO}_2$	1.50×10^{-11}	-170	2.65×10^{-11}	1
(R52)	$\text{NO}_2 + \text{NO}_2 \rightarrow \text{NO} + \text{NO}_2 + \text{O}_2$	4.50×10^{-14}	1260	6.56×10^{-16}	1
(R53)	$\text{NO}_2 + \text{NO}_2 \rightarrow \text{N}_2\text{O}_4$	Table 2d		1.27×10^{-12}	1
(R54)	$\text{N}_2\text{O}_4 \rightarrow \text{NO}_2 + \text{NO}_2$	Table 2e		4.36×10^{-7}	1
(R55)	$\text{NO}_2 + \text{NO}_2 \rightarrow \text{NO}_2 + \text{NO}_2 + \text{O}_2$	8.50×10^{-13}	2450	2.29×10^{-16}	1
(R56)	$\text{HO} + \text{H}_2 \rightarrow \text{H}_2\text{O} + \text{HO}_2$	5.50×10^{-12}	2000	6.69×10^{-18}	1
(R57)	$\text{HO} + \text{SO}_2 \rightarrow \text{SULF} + \text{HO}_2$	Table 2d		8.89×10^{-19}	1
(R58)	$\text{CO} + \text{HO} \rightarrow \text{HO}_2 + \text{CO}_2$	Table 2f		2.40×10^{-13}	1
<i>O³P + Organic Compounds</i>					
(R59)	$\text{ISO} + \text{O}^3\text{P} \rightarrow 0.86 \text{OLT} + 0.05 \text{HCHO} + 0.02 \text{HO} + 0.01 \text{CO} + 0.13 \text{DCB} + 0.28 \text{HO}_2 + 0.15 \text{XO}_2$	6.00×10^{-11}		6.00×10^{-11}	5
(R60)	$\text{MACR} + \text{O}^3\text{P} \rightarrow \text{ALD}$	1.59×10^{-11}	-13	1.66×10^{-11}	6
<i>HO + Organic Compounds</i>					
(R61)	$\text{CH}_4 + \text{HO} \rightarrow \text{MO}_2 + \text{H}_2\text{O}$	Table 2c		6.86×10^{-15}	7
(R62)	$\text{ETH} + \text{HO} \rightarrow \text{ETHP} + \text{H}_2\text{O}$	Table 2c		2.57×10^{-15}	7
(R63)	$\text{H}_3\text{C} + \text{HO} \rightarrow 0.583 \text{HC3P} + 0.381 \text{HO}_2 + 0.335 \text{ALD} + 0.036 \text{ORA1} + 0.036 \text{CO} + 0.036 \text{GLY} + 0.036 \text{HO} + 0.010 \text{HCHO} + \text{H}_2\text{O}$	5.26×10^{-12}	260	2.20×10^{-12}	8
(R64)	$\text{HCS} + \text{HO} \rightarrow 0.75 \text{HCSP} + 0.25 \text{KET} + 0.25 \text{HO}_2 + \text{H}_2\text{O}$	8.02×10^{-12}	155	4.77×10^{-12}	8
(R65)	$\text{HCR} + \text{HO} \rightarrow 0.951 \text{HCRP} + 0.025 \text{ALD} + 0.024 \text{HKET} + 0.049 \text{HO}_2 + \text{H}_2\text{O}$	1.64×10^{-11}	125	1.08×10^{-11}	8
(R66)	$\text{ETE} + \text{HO} \rightarrow \text{ETEP}$	1.96×10^{-12}	-438	8.52×10^{-12}	7
(R67)	$\text{OLT} + \text{HO} \rightarrow \text{OLTP}$	5.72×10^{-12}	-500	3.06×10^{-11}	8
(R68)	$\text{OLI} + \text{HO} \rightarrow \text{OLIP}$	1.33×10^{-11}	-500	7.12×10^{-11}	8
(R69)	$\text{DIEN} + \text{HO} \rightarrow \text{ISOP}$	1.48×10^{-11}	-448	6.65×10^{-11}	7
(R70)	$\text{ISO} + \text{HO} \rightarrow \text{ISOP}$	2.54×10^{-11}	-410	1.01×10^{-10}	7
(R71)	$\text{API} + \text{HO} \rightarrow \text{APIP}$	1.21×10^{-11}	-444	5.37×10^{-11}	7
(R72)	$\text{LIM} + \text{HO} \rightarrow \text{LIMP}$	1.70×10^{-10}		1.71×10^{-10}	7
(R73)	$\text{TOL} + \text{HO} \rightarrow 0.90 \text{ADDT} + 0.10 \text{XO}_2 + 0.10 \text{HO}_2$	1.81×10^{-12}	-355	5.96×10^{-12}	7
(R74)	$\text{XYL} + \text{HO} \rightarrow 0.90 \text{ADDX} + 0.10 \text{XO}_2 + 0.10 \text{HO}_2$	7.30×10^{-12}	-355	2.40×10^{-11}	7, 10
(R75)	$\text{CSL} + \text{HO} \rightarrow 0.85 \text{ADDC} + 0.10 \text{PHO} + 0.05 \text{HO}_2 + 0.05 \text{XO}_2$	6.00×10^{-11}		6.00×10^{-11}	7, 11
(R76)	$\text{HCHO} + \text{HO} \rightarrow \text{HO}_2 + \text{CO} + \text{H}_2\text{O}$	1.00×10^{-11}		1.00×10^{-11}	1
(R77)	$\text{ALD} + \text{HO} \rightarrow \text{ACO}_2 + \text{H}_2\text{O}$	5.55×10^{-12}	-331	1.69×10^{-11}	7
(R78)	$\text{KET} + \text{HO} \rightarrow \text{KETP} + \text{H}_2\text{O}$	Table 2c		6.87×10^{-15}	7
(R79)	$\text{HKET} + \text{HO} \rightarrow \text{HO}_2 + \text{MGLY} + \text{H}_2\text{O}$	3.00×10^{-12}		3.00×10^{-12}	7
(R80)	$\text{GLY} + \text{HO} \rightarrow \text{HO}_2 + 2 \text{CO} + \text{H}_2\text{O}$	1.14×10^{-11}		1.14×10^{-11}	12
(R81)	$\text{MGLY} + \text{HO} \rightarrow \text{ACO}_2 + \text{CO} + \text{H}_2\text{O}$	1.72×10^{-11}		1.72×10^{-11}	7
(R82)	$\text{MACR} + \text{HO} \rightarrow 0.51 \text{TCO}_2 + 0.41 \text{HKET} + 0.08 \text{MGLY} + 0.41 \text{CO} + 0.08 \text{HCHO} + 0.49 \text{HO}_2 + 0.49 \text{XO}_2$	1.86×10^{-11}	-175	3.35×10^{-11}	7, 13
(R83)	$\text{DCB} + \text{HO} \rightarrow 0.50 \text{TCO}_2 + 0.50 \text{HO}_2 + 0.50 \text{XO}_2 + 0.35 \text{UDD} + 0.15 \text{GLY} + 0.15 \text{MGLY}$	2.80×10^{-11}	-175	5.04×10^{-11}	14
(R84)	$\text{UDD} + \text{HO} \rightarrow 0.88 \text{ALD} + 0.12 \text{KET} + \text{HO}_2$	2.70×10^{-10}		2.70×10^{-10}	15
(R85)	$\text{OPI} + \text{HO} \rightarrow 0.65 \text{MO}_2 + 0.35 \text{HCHO} + 0.35 \text{HO}$	2.93×10^{-12}	-190	5.54×10^{-12}	7

¿Es una reacción dada sensible a un fraccionamiento de isótopos?

$$\alpha = 1.02$$

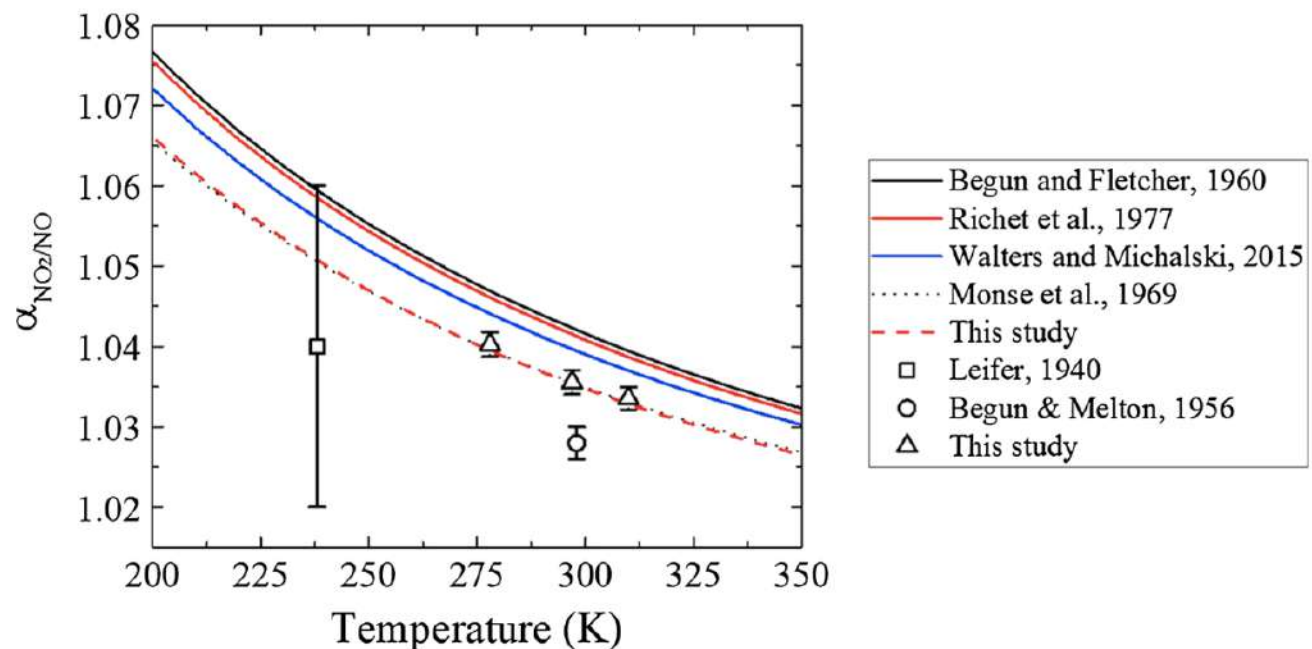


Solo 13 reacciones sensibles de 106 N reacciones

Reaction	α
$^{15}\text{NO}_2 \rightarrow \text{O}^3\text{P} + ^{15}\text{NO}$	1.0042
$\text{O}_3 + ^{15}\text{NO} \rightarrow ^{15}\text{NO}_2 + \text{O}_2$	0.9933
$\text{HO} + ^{15}\text{NO}_2 \rightarrow \text{H}^{15}\text{NO}_2 + \text{OH}$	1.04
$\text{HCHO} + ^{15}\text{NO}_3 \rightarrow \text{HO}_2 + \text{H}^{15}\text{NO}_3 + \text{CO}$	0.9974
$\text{ALD} + ^{15}\text{NO}_3 \rightarrow \text{ACO}_3 + \text{H}^{15}\text{NO}_3$	0.9976
$\text{GLY} + ^{15}\text{NO}_3 \rightarrow \text{H}^{15}\text{NO}_3 + \text{HO}_2 + 2\text{CO}$	0.9962
$\text{MGLY} + ^{15}\text{NO}_3 \rightarrow \text{H}^{15}\text{NO}_3 + \text{ACO}_3 + \text{CO}$	0.9957
$\text{MACR} + ^{15}\text{NO}_3 \rightarrow 0.20\text{TCO}_3 + 0.20\text{H}^{15}\text{NO}_3 + 0.80^{15}\text{OLNN} + 0.80\text{CO}$	0.9958
$\text{DCB} + ^{15}\text{NO}_3 \rightarrow 0.50\text{TCO}_3 + 0.50\text{HO}_2 + 0.50\text{XO}_2 + 0.25\text{GLY} + 0.25\text{ALD} + 0.03\text{KET} + 0.25\text{MGLY} + 0.5\text{H}^{15}\text{NO}_3 + 0.5\text{ }^{15}\text{NO}_2$	0.9954
$\text{CSL} + ^{15}\text{NO}_3 \rightarrow \text{H}^{15}\text{NO}_3 + \text{PHO}$	0.9949
$^{15}\text{NO} + \text{NO}_2 \rightarrow \text{NO} + ^{15}\text{NO}_2$	0.9771
$\text{NO}_3 + ^{15}\text{NO}_2 \rightarrow ^{15}\text{NNO}_5$	1.0266
$^{15}\text{NO}_3 + \text{NO}_2 \rightarrow ^{15}\text{NNO}_5$	1.0309
$^{15}\text{NO}_3 + ^{15}\text{NO}_2 \rightarrow ^{15}\text{N}_2\text{O}_5$	1.0570
$^{15}\text{N}_2\text{O}_5 \rightarrow \text{H}^{15}\text{NO}_3 + \text{H}^{15}\text{NO}_3$	0.9954
$^{15}\text{NNO}_5 \rightarrow \text{H}^{15}\text{NO}_3 + \text{H}^{15}\text{NO}_3$	0.9909



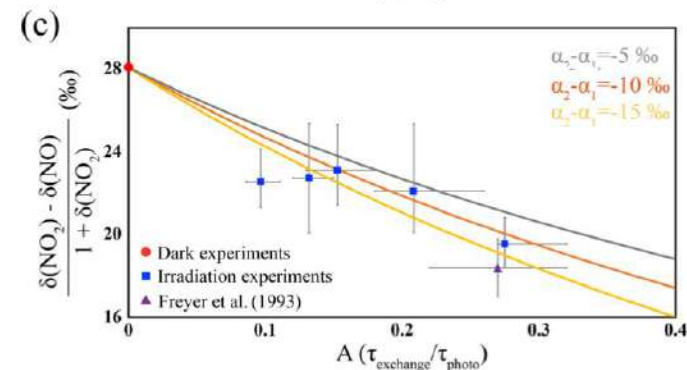
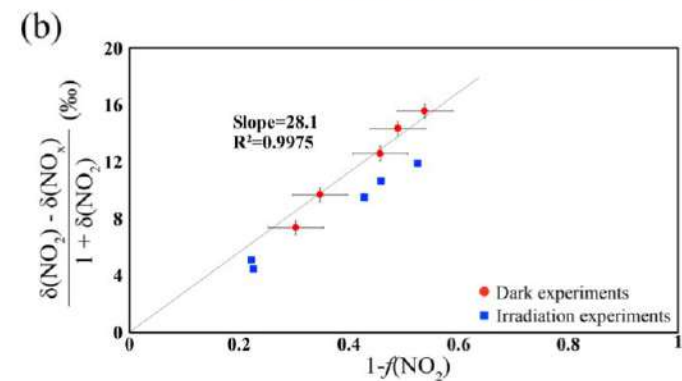
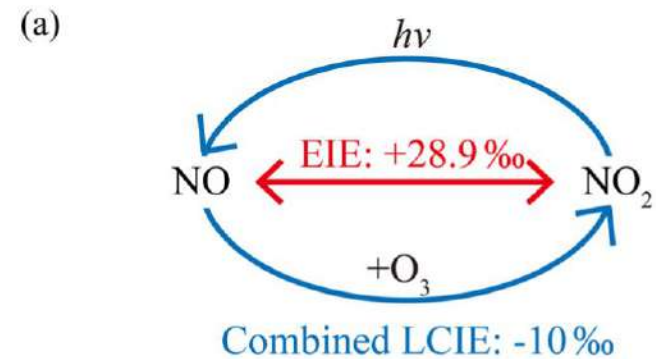
Determining α by experiment



Nitrogen isotope exchange between NO and NO₂ and its implications for $\delta^{15}\text{N}$ variations in tropospheric NO_x and atmospheric nitrate

Wendell W. Walters¹, Damian S. Simonini², and Greg Michalski^{1,2}

Geophysical Research Letters

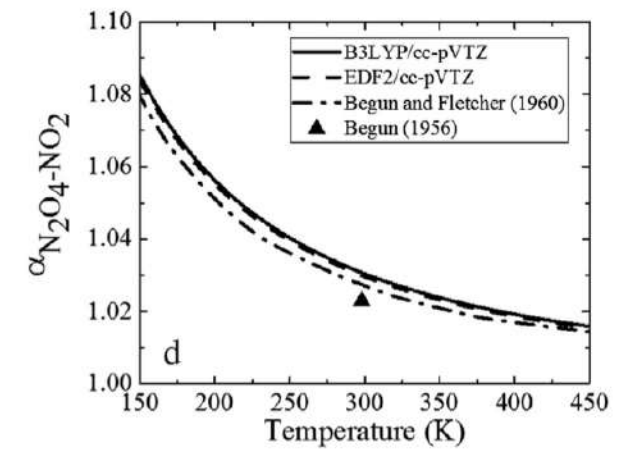
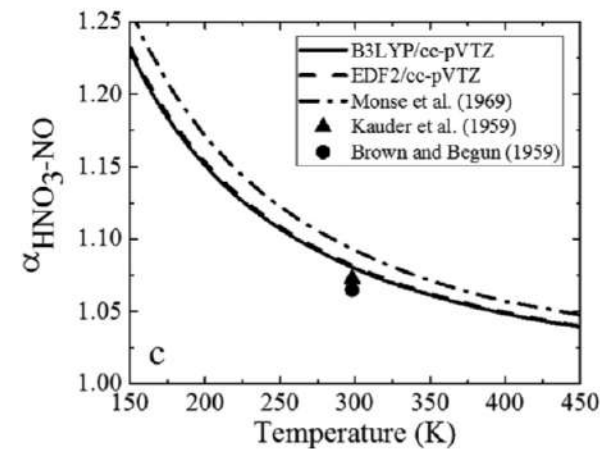
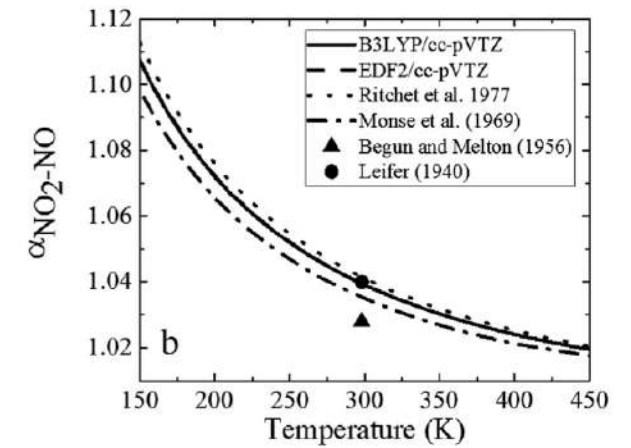
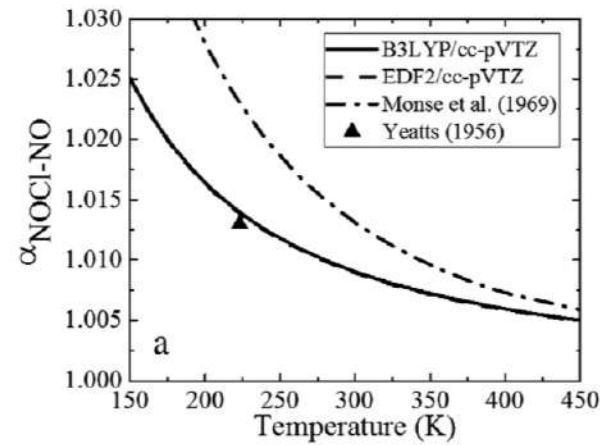
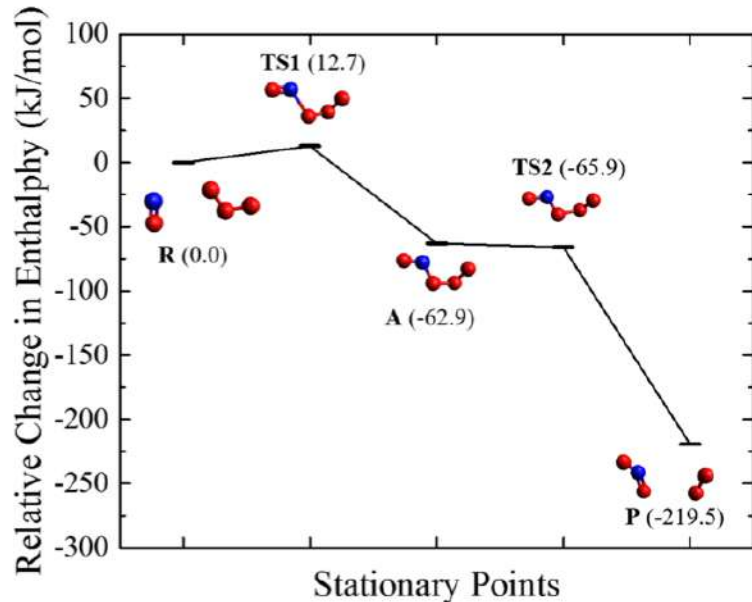
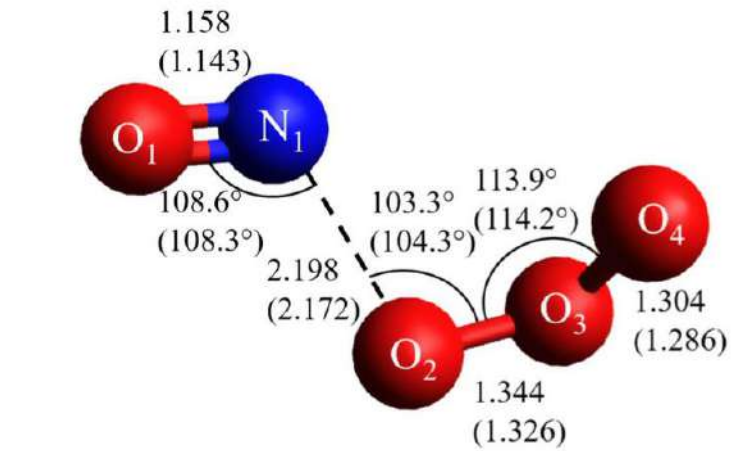


Atmospheric
Chemistry
and Physics

Quantifying the nitrogen isotope effects during photochemical equilibrium between NO and NO₂: implications for $\delta^{15}\text{N}$ in tropospheric reactive nitrogen

Jianghanyang Li¹, Xuan Zhang², John Orlando², Geoffrey Tyndal², and Greg Michalski^{1,3}

Determinación de α por química cuántica



THE JOURNAL OF CHEMICAL PHYSICS **145**, 224311 (2016)

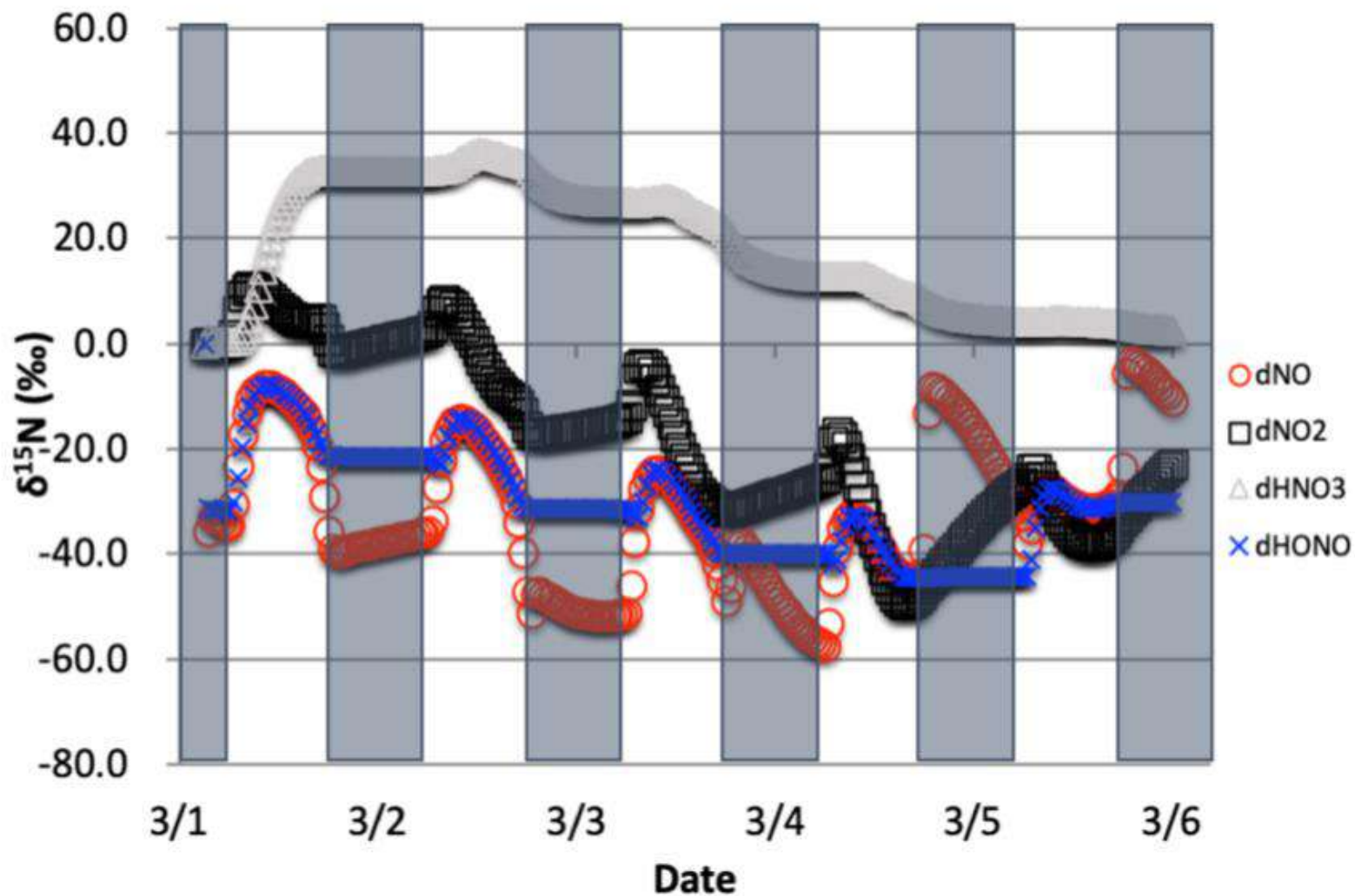
Ab initio study of nitrogen and position-specific oxygen kinetic isotope effects in the $\text{NO} + \text{O}_3$ reaction

Wendell W. Walters^{1,a} and Greg Michalski^{1,2}

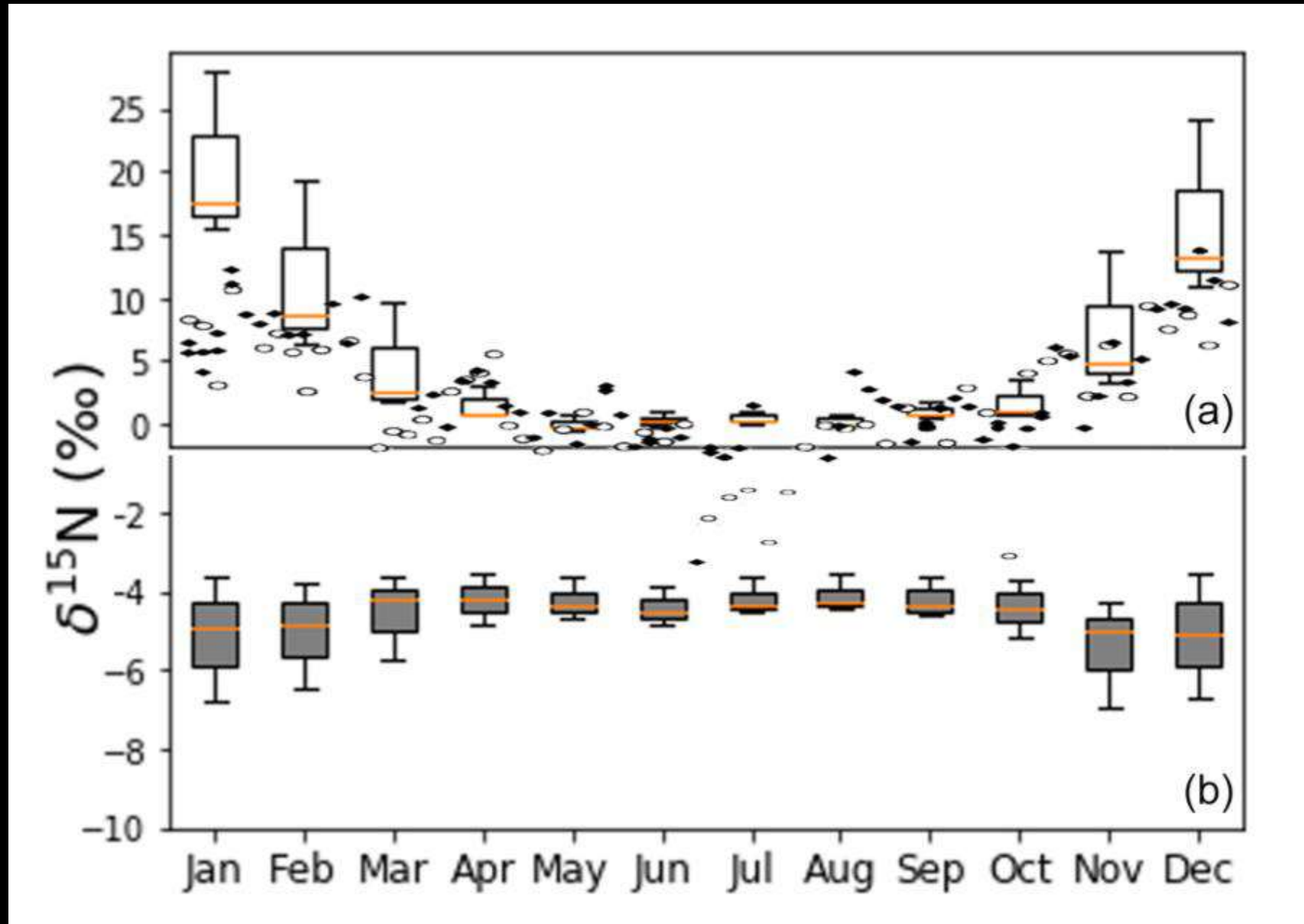
Theoretical calculation of nitrogen isotope equilibrium exchange fractionation factors for various NO_y molecules

Wendell W. Walters^{a,*}, Greg Michalski^{a,b}

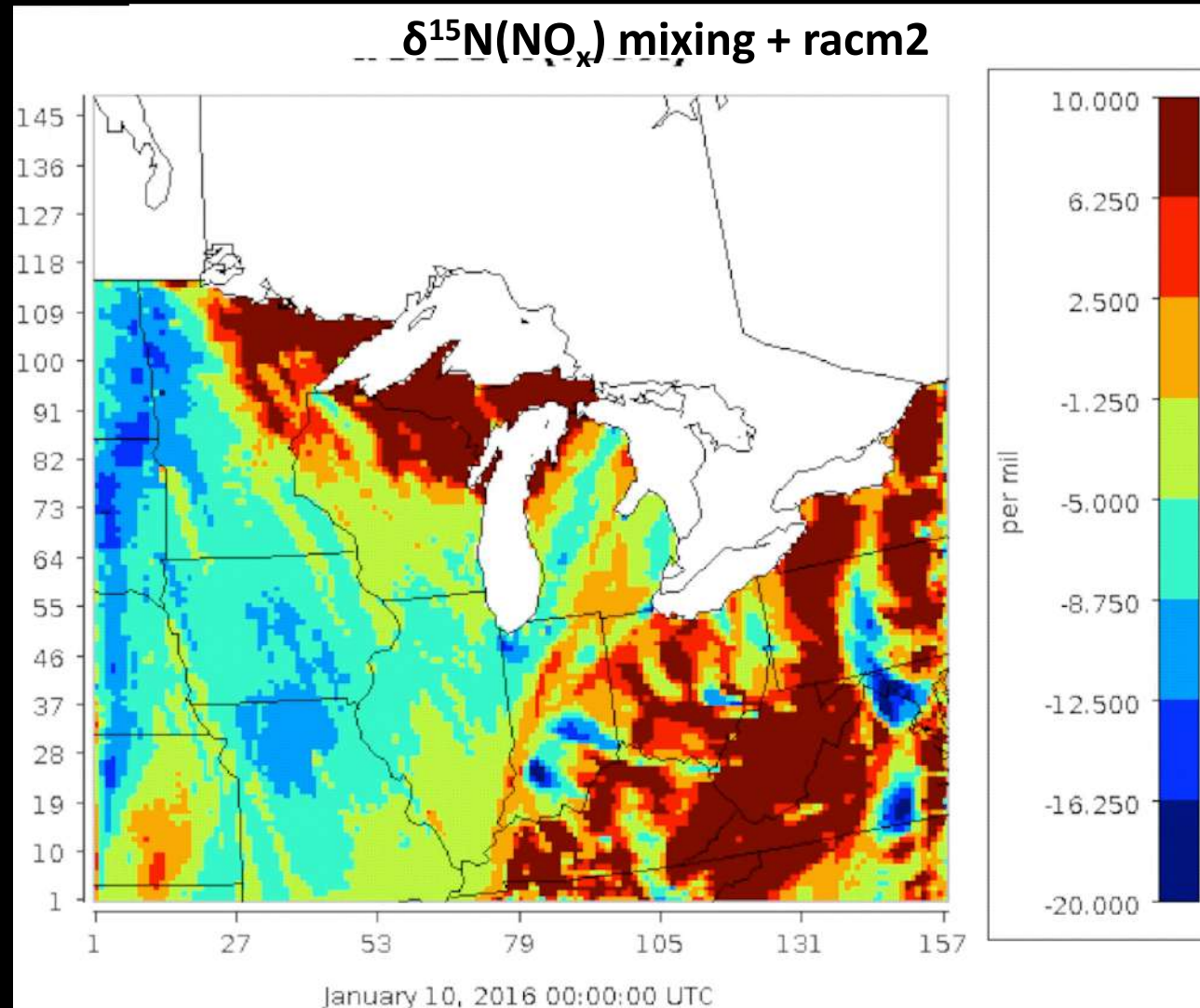
**Geochimica et
Cosmochimica
Acta**



$\delta^{15}\text{N}$ RACM predicciones vs pNO_3^- observado en Tucson, AZ.

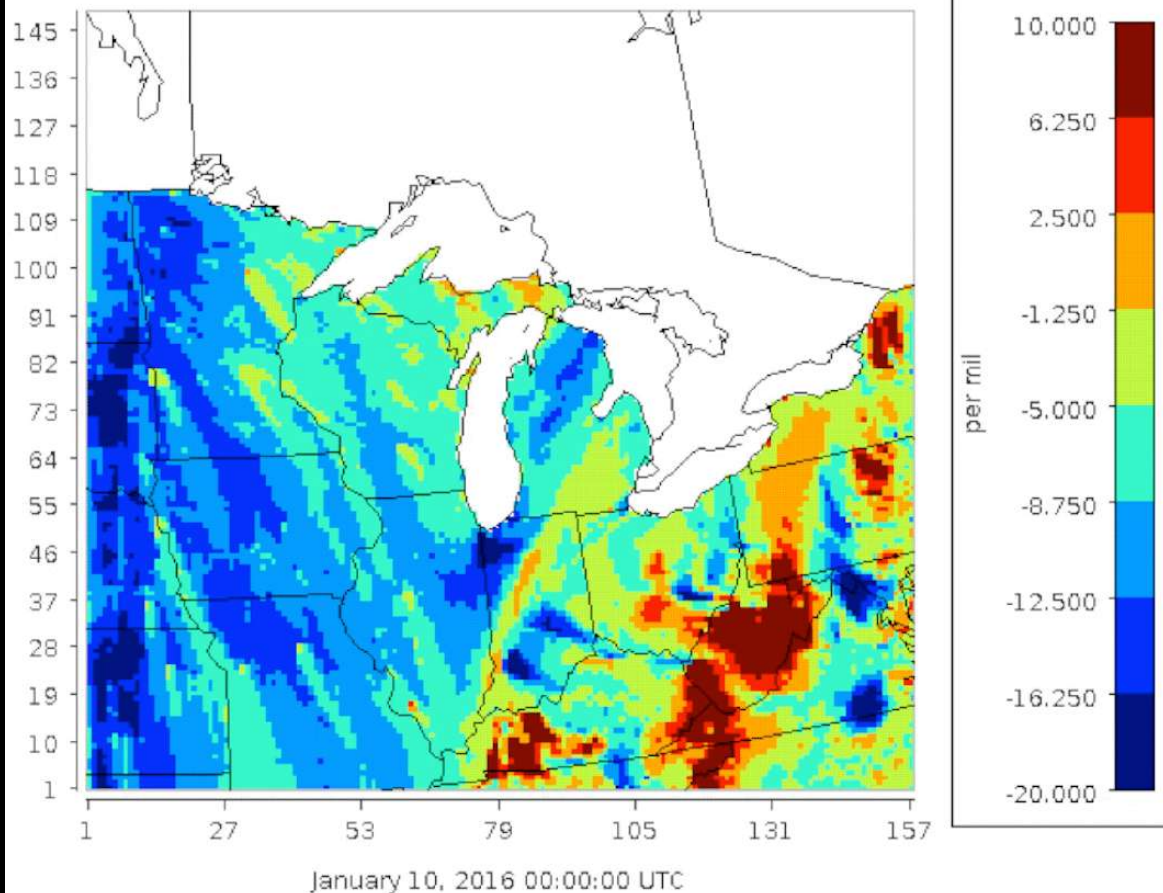


$\delta^{15}\text{N}$ de NO_x atmosférico

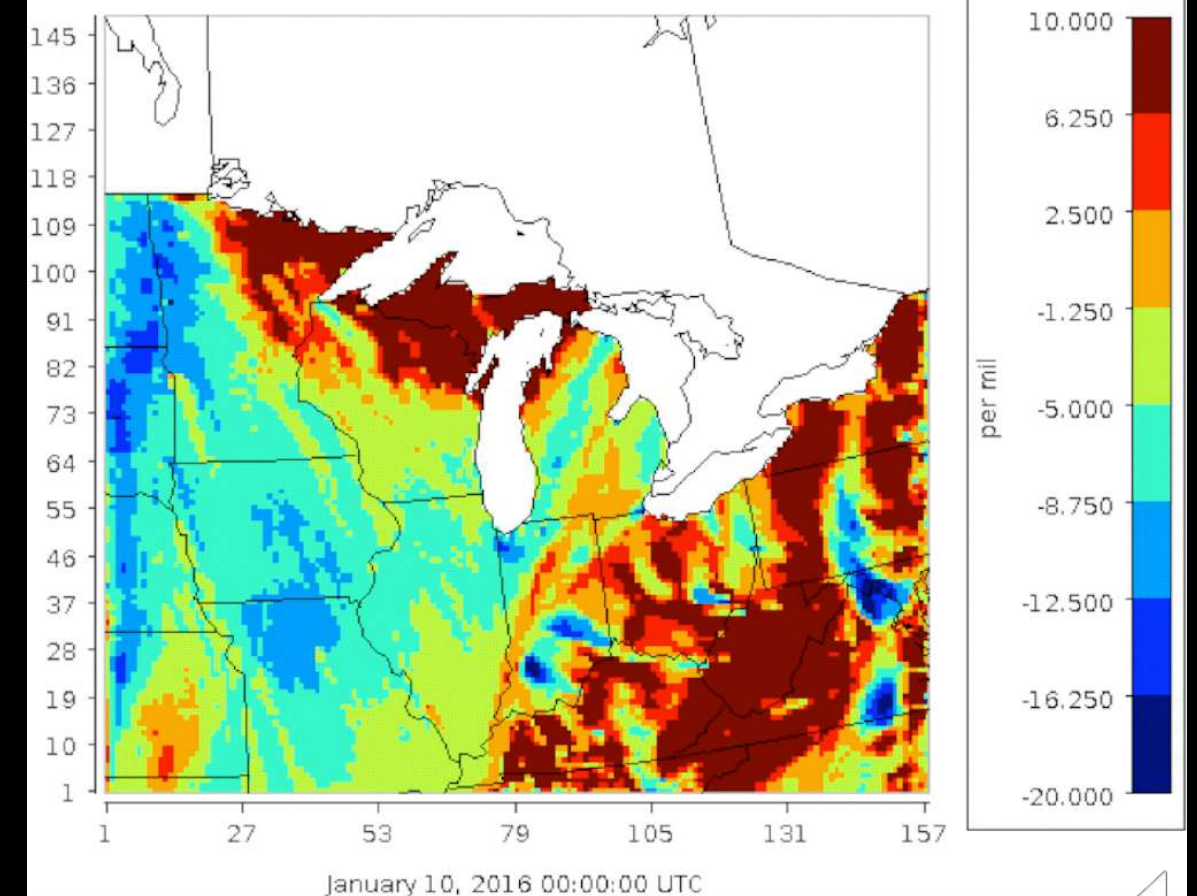


$\delta^{15}\text{N}$ de NO_x atmosférico utilizando diferentes mecanismos químicos

$\delta^{15}\text{N}(\text{NO}_x)$ mixing + cb6



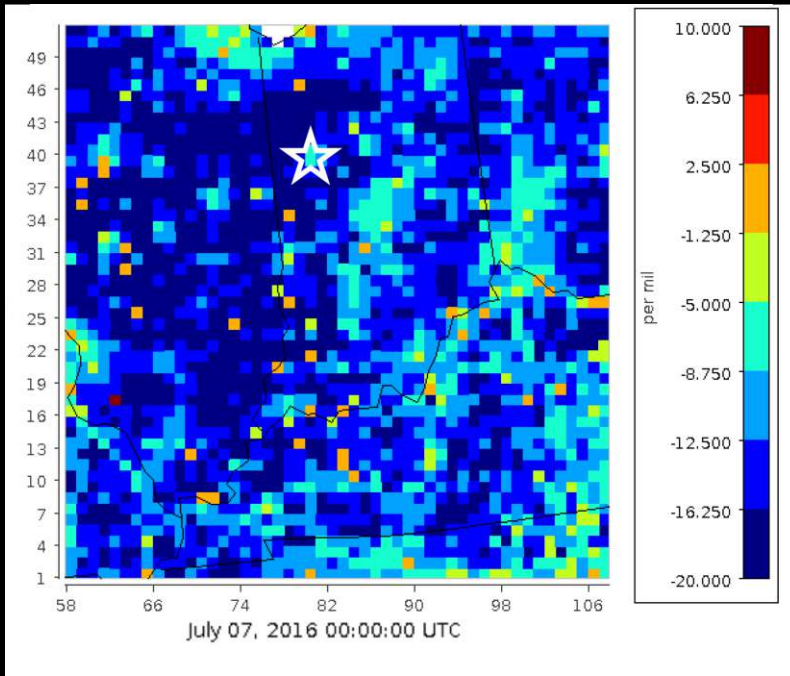
$\delta^{15}\text{N}(\text{NO}_x)$ mixing + racm2



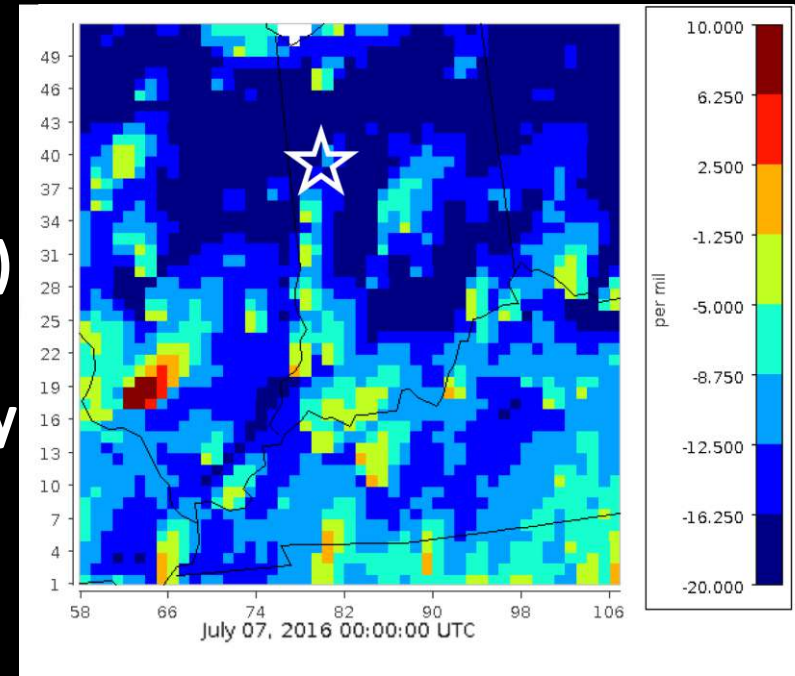
- New way of validating chemical mechanism



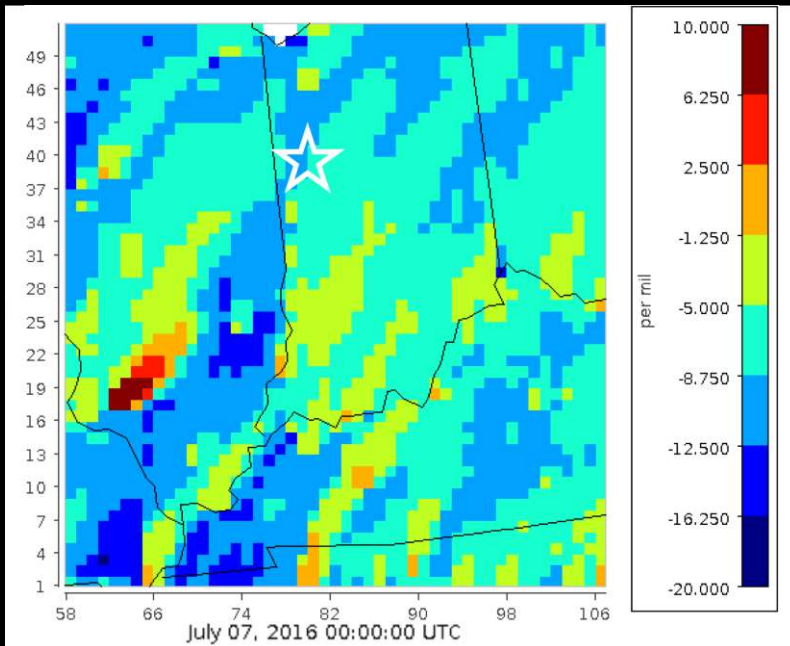
$\delta^{15}\text{N}(\text{NO}_x)$
emission



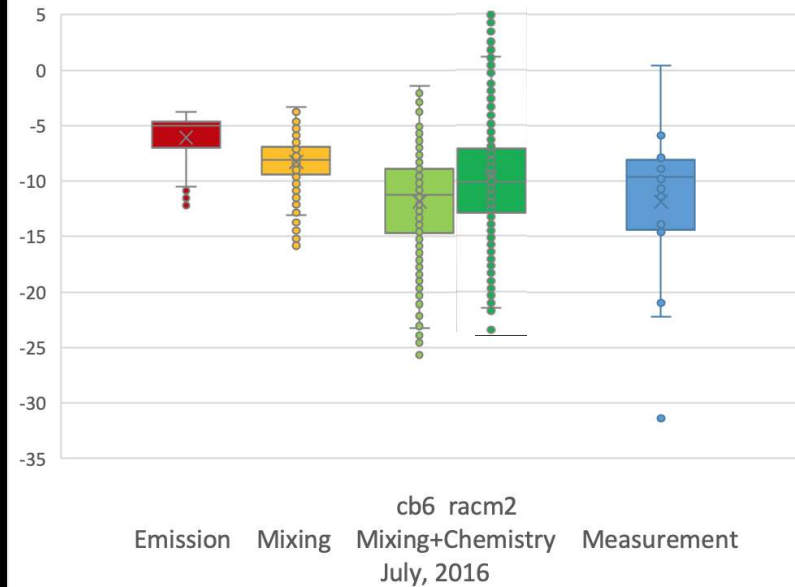
$\delta^{15}\text{N}(\text{NO}_x)$
Mixing+
Chemistry



$\delta^{15}\text{N}(\text{NO}_x)$
Mixing



$\delta^{15}\text{N}(\text{NO}_x)$ at West Lafayette, IN



Future work

- Continuar trabajando en la reconstrucción del módulo de aerosol para isótopos de nitrógeno
- Incluyendo rayos en la simulación
- Simulación con Inventario Nacional de Emisiones liberado en diferentes años
- Validación con más medidas

Acknowledgments

- **Huan Fang from Purdue University Dept of EAPS**
- **Wendell Walters, Brown University**
- **Jianghanyang Li, University of Colorado, Boulder**
- Scot Spak from University of Iowa
- Ben Murphy from EPA Office of Research and Development
- Tomas Ratkus from Purdue University Dept of EAPS
- Frank Bakhit from Purdue University Rosen Center for Advanced Computing
- Steven Plite from Purdue University Rosen Center for Advanced Computing
- Funded by Purdue Research Foundation, Purdue Climate Change Research Center, Purdue Center for the Environment

